



**UNIVERSIDADE FEDERAL DO CEARÁ
CENTRO DE CIÊNCIAS
DEPARTAMENTO DE COMPUTAÇÃO
PROGRAMA DE MESTRADO E DOUTORADO EM CIÊNCIA DA
COMPUTAÇÃO**

Rafael Teixeira de Araújo

Convexidades de Caminhos e Convexidades Geométricas

**FORTALEZA – CE
Fevereiro de 2014**

Rafael Teixeira de Araújo

Convexidades de Caminhos e Convexidades Geométricas

Dissertação de Mestrado apresentada ao Programa de Mestrado e Doutorado em Ciência da Computação, do Departamento de Computação da Universidade Federal do Ceará, como requisito parcial para obtenção do Título de Mestre em Ciência da Computação. Área de concentração: Teoria dos Grafos (Teoria da Computação).

Orientador: Prof. Dr. Rudini Menezes Sampaio

FORTALEZA – CE

Fevereiro de 2014

Dados Internacionais de Catalogação na Publicação
Universidade Federal do Ceará
Biblioteca de Ciências e Tecnologia

-
- A691c Araújo, Rafael Teixeira de.
 Convexidades de Caminhos e Convexidades Geométricas / Rafael Teixeira de Araújo. – 2014.
 51 f. : il. color., enc. ; 30 cm.
- Dissertação (mestrado) – Universidade Federal do Ceará, Centro de Ciências, Departamento de
 Computação, Programa de Pós-Graduação em Ciência da Computação, Fortaleza, 2014.
 Área de Concentração: Teoria dos Grafos (Teoria da Computação).
 Orientação: Prof. Dr. Rudini Menezes Sampaio.
1. Teoria dos grafos. 2. Grafos bipartidos. I. Título.

Dedico esse trabalho a meus pais que me apoiaram e ajudaram para que eu pudesse estar aqui nesse momento.

Agradecimentos

Agradeço primeiramente à Deus, principio e fim de tudo.

Aos meus familiares que sempre me apoiaram, incentivaram e torceram por mim.

A minha amiga Tatiane Fernandes Figueiredo, que foi a primeira pessoa que eu conheci no mestrado e sempre esteve ao meu lado, apoiado, incentivando, suportando, acalmando e encorajando mesmo sem muitas vezes me entender.

Aos meus amigos Marcio Costa e Carlos Vinícius e Arthur Araruna pela ajuda e incentivo nas horas de desespero.

Ao Rennan Dantas grande amigo que conheci e morador do lab 2.

À meus amigos de mestrado Cláudio, Eliezer, Thiago Alves pelos momentos divertidos que passamos nas disciplinas.

Aos professores Manoel Campêlo, Victor Campos e demais professores do ParGO pela ajuda e disponibilidade.

Aos membros da banca Leonardo Sampaio, Fabricio Benevides e Mitre Costa Dourado, pela disponibilidade e pelos excelentes comentários e contribuições.

Ao meu orientador professor Rudini Menezes Sampaio por ter aceito um completo estranho e desconhecido, por todo o apoio e paciência que sempre demonstra ter.

Ao grupo de pesquisa ParGO por ter me acolhido.

Aos amigos, funcionários e professores do MDCC/UFC.

A FUNCAP pelo apoio financeiro.

“A persistência é o menor caminho do êxito”.

(Charles Chaplin)

Resumo

Nessa dissertação apresentamos resultados de complexidade relativos ao número de hull e o número de convexidade na convexidade P_3 . Mostramos que o número de hull e o número de convexidade é NP-difícil mesmo em grafos bipartidos. Motivados por nossa pesquisa em convexidade baseada em caminhos introduzimos uma nova convexidade a qual definimos como convexidade dos caminhos induzidos de ordem três ou P_3^* . Mostramos uma relação da convexidade geodésica com a convexidade P_3^* no caso onde o grafo é uma junção de um K_m com um grafo não completo. Estudamos também convexidade geométrica e caracterizamos algumas classes de grafos em determinadas convexidade como as florestas de estrela na convexidade P_3 , cografos cordais na convexidade P_3^* , e as florestas na convexidade TP. Mostramos também convexidades que são geométricas somente em uma determinada classe de grafos como os cografos na convexidade P_4+ -free, os grafos livres de \mathcal{F} na convexidade \mathcal{F} -free entre outras. Por fim demonstramos alguns resultados de convexidade geodésica e P_3^* na em grafos com poucos P_4 's.

Palavras-chave: convexidade em grafos, número de hull, número de convexidade, convexidade P_3 , convexidade geodésica, convexidade P_3^* , convexidade geométrica.

Abstract

In this dissertation we present complexity results related to the hull number and the convexity number for P_3 convexity. We show that the hull number and the convexity number are NP-hard even for bipartite graphs. Inspired by our research in convexity based on paths, we introduce a new convexity, where we defined as convexity of induced paths of order three or P_3^* . We show a relation between the geodetic convexity and the P_3^* convexity when the graph is a join of a K_m with a non-complete graph. We did research in geometric convexity and from that we characterized graph classes under some convexities such as the star forest in P_3 convexity, chordal cographs in P_3^* convexity, and the forests in TP convexity. We also demonstrated convexities that are geometric only in specific graph classes such as cographs in P_4 -free convexity, \mathcal{F} free graphs in \mathcal{F} -free convexity and others. Finally, we demonstrated some results of geodesic convexity and P_3^* in graphs with few P_4 's.

Key-words: convexity in graph, hull number, convexity number, P_3 convexity, geodetic convexity, P_3^* convexity, geometric convexity.

Sumário

Sumário	7
Lista de ilustrações	9
1 Introdução	10
2 Conceitos Básicos	12
2.1 Grafos	12
2.2 Convexidade	13
2.3 Convexidade Geométrica	15
3 Convexidade P_3	16
3.1 Introdução	16
3.2 Convexidade P_3	16
3.3 A NP -Compleitude do número de fecho- P_3	16
3.4 A NP -Compleitude do número de convexidade- P_3	20
4 Convexidade dos caminhos induzidos de ordem três	22
4.1 Introdução	22
4.2 A convexidade P_3^*	22
5 Convexidades Geométricas	26
5.1 Introdução	26
5.2 Resultados Conhecidos	26
5.2.1 Convexidade monofônica	26
5.2.2 Convexidade Geodésica	28
5.2.3 Convexidade m^3	29
5.3 Resultados Novos	35
5.3.1 Convexidade P_3	35
5.3.2 Convexidade P_3^*	36
5.3.3 convexidade TP	37
5.3.4 Convexidade P_4^+ -free	38
5.3.5 Convexidade \mathcal{F} -free	38
6 Grafos com poucos P_4	40
6.1 Introdução	40
6.2 Convexidade Geodésica em grafos $(q, q - 4)$	43

6.3 Convexidade P_3^* em grafos $(q, q - 4)$	46
Referências	49

Lista de ilustrações

Figura 1 – Complexidade e Parâmetros de Convexidade	17
Figura 2 – Complexidade e Parâmetros de Convexidade	18
Figura 3 – Complexidade e Parâmetros de Convexidade	18
Figura 4 – engrenagem de cláusula e variável	19
Figura 5 – Complexidade e Parâmetros de Convexidade	20
Figura 6 – 3-fan	28
Figura 7 – grafo livre de HHDA	29
Figura 8 – Exemplos de aranha gorda.	40
Figura 9 – Exemplos de aranha gorda.	41
Figura 10 – Exemplos de aranha sem cabeça.	41

1 Introdução

Nessa dissertação consideramos 2 temas no contexto de convexidade: Convexidade em Grafos e Convexidade Geométrica. Nos últimos anos, muitos artigos foram publicados estendendo os conceitos e métodos de matemática pura e matemática discreta para teoria dos grafos. O conceito de convexidade é um desses tópicos de interesse. Podemos fazer uma analogia entre os conceitos de conjunto convexo em matemática pura e matemática discreta se consideramos subconjuntos de vértices de um grafo e caminhos entre vértices como um espaço métrico. Assim sendo, dado um conjunto finito V e uma família \mathcal{C} de subconjuntos de V , dizemos que o par (V, \mathcal{C}) é uma *convexidade* se $\emptyset \in \mathcal{C}$, $V \in \mathcal{C}$ e, para todo $S_1, S_2 \in \mathcal{C}$, temos que $S_1 \cap S_2 \in \mathcal{C}$. Os conjuntos de \mathcal{C} são chamados *conjuntos convexos*. Dada uma convexidade (V, \mathcal{C}) , o *fecho convexo* (ou *hull set*) de um subconjunto $S \subseteq V$, denotado $\mathcal{H}(S)$ é o menor conjunto convexo que contém S .

Muitos artigos foram publicados a exemplo de (CENTENO et al., 2011), (CENTENO; DOURADO; SZWARCFITER, 2009), (BARBOSA et al., 2011), (DOURADO et al., 2012) e (BENEVIDES et al., 2013), fazendo uma certa extensão do conceito de convexidade matemática para a convexidade em grafos.

Vários tipos de convexidade são estudados considerando os tipo de caminhos (um caminho em um grafo é uma sequência de vértices tal que de cada um de seus vértices há uma aresta para o próximo vértice da sequência), como caminhos induzidos ((DOURADO; PROTTI; SZWARCFITER, 2010), (FARBER; JAMISON, 1986), (FARBER; JAMISON, 1987)), caminhos mínimos ((DOURADO et al., 2010a)) e caminhos triangulares ((CHANGAT; MATHEW, 1999)).

Entre as convexidades baseadas em caminhos temos: a P_3 , (CAMPOS et al., 2012), onde um conjunto S é convexo se, para todo P_3 $x - y - z$, onde $x, z \in S$, temos que $y \in S$. Temos também a *geodésica* (ARAÚJO; SAMPAIO; SZWARCFITER, 2013) onde um conjunto S é convexo se, para todo caminho mínimo P entre dois vértices de S , os vértices de P pertencem a S , e temos a *monofônica* (DOURADO; PROTTI; SZWARCFITER, 2010), onde um conjunto S é convexo se, para todo caminho induzido P entre dois vértices de S , os vértices de P pertencem a S , entre outras convexidades.

No capítulo 2 introduzimos as notações e definições principais que utilizaremos nesse trabalho. Definiremos número de hull, número de intervalo, número de convexidade, número de Carathéodory, número de Radon e tempo máximo de percolação. Definiremos algumas propriedades que classificam uma convexidade como sendo uma *Convexidade Geométrica*. Mostraremos algumas definições para a caracterização de uma determinada classe de grafos em uma convexidade geométrica.

Dizemos que uma convexidade é geométrica se satisfaz a propriedade adicional de Minkowski-Krein-Milman: cada conjunto convexo é o fecho convexo de seus pontos extre-

mos, que são os elementos cuja remoção mantém o conjunto convexo. Sabe-se que essa propriedade é equivalente a propriedade Antiexchange: para qualquer conjunto S e dois pontos distintos $x, y \notin S, x \in \mathcal{H}(S \cup \{y\})$ implica $y \notin \mathcal{H}(S \cup \{x\})$.

A primeira parte do nosso trabalho é uma exposição de um trabalho nosso publicado no LAGOS - 2013 (ARAÚJO; SAMPAIO; SZWARCFITER, 2013), onde provamos a NP completude do número de hull e do número de convexidade para a convexidade P_3 em grafos bipartidos.

O Capítulo 4 também é uma exposição do nosso trabalho (ARAÚJO; SAMPAIO; SZWARCFITER, 2013) onde apresentamos a convexidade dos caminhos induzidos de ordem três e a relação dessa com a convexidade geodésica.

No capítulo 5, estudamos convexidades geométricas, apresentamos alguns resultados conhecidos como a caracterização dos grafos cordais na convexidade monofônica (FARBER; JAMISON, 1987), os grafos Ptolemaicos na convexidade geodésica (FARBER; JAMISON, 1987) e os grafos livres de HHDA na convexidade m^3 (DRAGAN; NICOLAI; BRANDSTÄDT, 1999). Também apresentamos resultados novos como a caracterização dos grafos estrela na convexidade P_3 , os cografos cordais na convexidade P_3^* , as florestas na convexidade TP (que será definida posteriormente) entre outros resultados.

No Capítulo 6, mostramos alguns resultados para a convexidade geodésica e P_3^* em grafos com poucos P_4 's. Esse capítulo é uma extensão do nosso trabalho (ARAÚJO; SAMPAIO; SZWARCFITER, 2013).

2 Conceitos Básicos

2.1 Grafos

Um grafo G é um par ordenado (V, E) que consiste em um conjunto de vértices V e um conjunto de arestas E , disjunto de V , e uma função de incidência ψ_G mapeando elementos de E a pares não ordenados de elementos de V . Utilizamos $n = |V(G)|$ e $m = |E(G)|$. Se e é uma aresta e $\psi_G(e) = uv$, então dizemos que u e v são extremidades de e .

A denominação grafo vem do fato do mesmo poder ser representado graficamente, os vértices como pontos e as arestas como linhas ligando suas extremidades.

Consideraremos apenas os grafos que não possuem laços (arestas com extremidades idênticas) e nem arestas múltiplas (duas arestas com as mesmas extremidades). Além disso as arestas não são orientadas, o que significa que uv e vu representam a mesma aresta.

Dizemos que dois vértices são adjacentes (vizinhos) se $u, v \in V(G)$ e $uv \in E(G)$. O conjunto de vértices adjacentes ao vértice v é chamado de vizinhança de v e representado por $N_G(v)$. O número de vizinhos de v é chamado de grau de v e é representado por $d(v)$.

Um grafo é k -regular, $1 \leq k \leq |V(G)| - 1$ se todos os seus vértices possuem grau k . O complemento de um grafo G , denotado por \overline{G} , é o grafo com $V(\overline{G}) = V(G)$ e $E(\overline{G}) = \{u, v \mid (u, v) \notin E(G)\}$.

O grau máximo de um vértice em G é denotado por $\Delta(G)$ e o grau mínimo por $\delta(G)$. Um grafo G é completo se existe uma aresta entre qualquer par de vértices de G , denotado por K_n .

Um caminho em um grafo G é uma sequência de vértices distintos $p = (v_1, v_2, \dots, v_k)$ tais que $\{(v_1, v_2), (v_2, v_3), \dots, (v_{k-1}, v_k)\} \subseteq E(G)$. Dizemos que v_1 e v_k são as extremidades do caminho p .

Um ciclo em um grafo G consiste de uma sequência de vértices distintos $c = (v_1, v_2, \dots, v_k)$ tais que $\{(v_1, v_2), (v_2, v_3), \dots, (v_k, v_1)\} \subseteq E(G)$. Um grafo acíclico é chamado por floresta. Uma floresta conexa é chamada de árvore.

Dizemos que G é conexo se existe um caminho entre u e v para quaisquer $u, v \in V(G)$, caso contrário dizemos que G é desconexo.

Sejam u e v dois vértices de um grafo conexo G , a distância, $d(u, v)$ de u até v é o comprimento (número de arestas) do menor caminho de u até v em G .

Dizemos que H é subgrafo de G se $V(H) \subseteq V(G)$ e $E(H) \subseteq \{uv \in E(G) \mid u, v \in V(H)\}$. Se $E(H) = \{uv \in E(G) \mid u, v \in V(H)\}$, H é subgrafo induzido de G . Por outro lado, se H não é subgrafo induzido de G , então dizemos que G é livre de H .

Dizemos que um grafo é vazio se ele não possui arestas. Chamamos um conjunto de

vértices que induz um grafo completo de *clique* e um conjunto de vértices que induz um grafo vazio de conjunto independente .

Um grafo G é bipartido se $V(G)$ pode ser particionado em dois conjuntos disjuntos X e Y tais que $X \cup Y = V(G)$ e X e Y são conjuntos independentes de G .

Um grafo G é *split* se $V(G)$ pode ser particionado em dois conjuntos disjuntos X e Y tais que $X \cup Y = V(G)$ e X é uma clique de G e Y é um conjunto independente de G .

Um grafo não direcionado G é chamado *cordal* se cada ciclo de tamanho estritamente maior que 3 possui uma corda, ou seja, uma aresta unindo dois vértices não consecutivos do ciclo. Como G não possui subgrafos induzidos isomorfos a $C_n, n > 3$, o maior ciclo de G é um triângulo, e logo G é também chamado *triangulado*.

Um vértice v em um grafo G é dito simplicial se v e sua vizinhança foram uma clique em G . Uma ordem de eliminação perfeita em um grafo G é uma ordenação dos vértices do mesmo tal que, para cada vértice v , v é simplicial no subgrafo de G induzido por v e os vértices que sucedem na ordem.

Dados os grafos G_1 e G_2 , a união disjunta $G_1 \cup G_2$ é o grafo obtido a partir da união dos conjuntos de vértices e conjunto de arestas, e a junção $G_1 + G_2$ é o grafo obtido a partir de $G_1 \cup G_2$ incluindo todas as arestas entre G_1 e G_2 .

Essas e outras definições podem ser encontradas em (BONDY; MURTY, 2008)

2.2 Convexidade

Nessa seção, explanaremos um pouco sobre o conceito de convexidade, algumas convexidades estudadas pela literatura e os parâmetros usados nelas.

Espaço de convexidade é um tema clássico, estudado em alguns ramos diferentes da Matemática. O estudo das convexidades aplicados a grafos foi iniciado um pouco mais tarde, cerca de 50 anos atrás. Em seguida, os parâmetros de convexidade motivaram a definição de alguns parâmetros de grafos, cujo estudo tem sido uma das questões centrais em convexidades em grafos. Em particular, os aspectos relacionados com a complexidade do cálculo destes parâmetros tem sido o objetivo principal de várias publicações recentes.

Considere um grafo G . Um conjunto de vértices \mathcal{C} de subconjuntos de um conjunto de $V(G)$ é uma convexidade sobre $V(G)$ se

- $\emptyset, V(G) \in \mathcal{C}$ e
- \mathcal{C} é fechado sobre interseções.

Os elementos de \mathcal{C} são chamados conjuntos convexos. Dada uma convexidade (V, \mathcal{C}) , o *fecho convexo* (ou *hull set*) de um subconjunto $S \subseteq V$, denotado $\mathcal{H}(S)$ é o menor conjunto convexo que contém S . Se $\mathcal{H}(S) = V(G)$, nós dizemos que S é um *conjunto de fecho* (*hull set*).

Muitas convexidades são definidas através de um conjunto \mathcal{P} de caminhos em grafos. Neste caso, um subconjunto $\mathcal{C} \subseteq V(G)$ é convexo precisamente quando \mathcal{C} contém todos os vértices pertencentes aos caminhos de \mathcal{P} cujos vértices extremos estão também em \mathcal{C} .

Na *convexidade* P_3 , um conjunto S é convexo se, para todo P_3 $x-y-z$, onde $x, z \in S$, temos que $y \in S$.

Na *convexidade monofônica*, um conjunto S é convexo se, para todo caminho induzido P entre dois vértices de S , os vértices de P pertencem a S .

Na *convexidade geodésica*, um conjunto S é convexo se, para todo caminho mínimo P entre dois vértices de S , os vértices de P pertencem a S .

Dizemos que um caminho P em um grafo é um *T-caminho* se para quaisquer dois vértices x, y a distância maior do que 2 em P não são adjacentes. Ou seja, as únicas arestas entre vértices de P e que não são arestas de P são entre vértices a distância 2 (ou seja, só criam triângulos).

Em (CHANGAT; MATHEW, 1999), definiu-se um conjunto S como sendo TP-convexo se, para todo $x, y \in S$, todos os vértices em T-caminhos entre x, y pertencem a S . Provou-se que o número de Carathéodory da TP-convexidade é menor ou igual a 2 e o número de Radom é menor ou igual a 4 em qualquer grafo.

Na *convexidade* m^3 , um conjunto S é convexo se os vértices de caminhos induzidos de tamanho maior ou igual a 3 entre dois vértices de S pertencem a S .

Diremos que um conjunto é *m-convexo*, *g-convexo*, *m³-convexo* ou *P₃-convexo* se é convexo na convexidade monofônica, geodésica, m^3 ou P_3 , respectivamente.

Agora iremos descrever alguns parâmetros relacionados a convexidade em grafos.

O *número de fecho* $hn(G)$ de G é o tamanho do menor *conjunto hull*. O *número de intervalo* $in(S)$ é o tamanho do menor subconjunto $S \subseteq V(G)$ que não está contido em nenhum conjunto convexo próprio distinto de $V(G)$ (ou seja, o único conjunto convexo que contém S é $V(G)$). O *número de convexidade* $cx(G)$ é o tamanho do maior conjunto convexo distinto de $V(G)$. O *número de Carathéodory* $cth(G)$ é o menor inteiro c tal que, para todo vértice u e para todo conjunto S tal que $u \in hull(S)$, existe um conjunto $F \subseteq S$ com $|F| \leq c$ e $u \in hull(F)$. O *número de Radon* $rd(G)$ é o menor k tal que todo subconjunto V' de $V(G)$ de tamanho pelo menos k tem uma partição (V'_1, V'_2) tal que $hull(V'_1) \cap hull(V'_2) \neq \emptyset$.

Claramente, cada um desses parâmetros depende da convexidade que está sendo considerada. Por exemplo, existe o número de hull- P_3 $hn_{P_3}(G)$ e o número de hull geodésico $hn_{gd}(G)$.

Dado um conjunto $S \subseteq V(G)$, seja $\mathcal{I}_{P_3}(S)$ o conjunto com os vértices de S e todos os vértices em algum caminho P_3 entre dois vértices de S (ou seja, todos os vértices com dois vizinhos em S). Seja $t_{P_3}(S)$ o menor k tal que $\mathcal{I}_{P_3}^k(S) = \mathcal{I}_{P_3}^{k+1}(S)$, onde $\mathcal{I}_{P_3}^k(S)$ é a k -ésima função iterada de \mathcal{I}_{P_3} . O *P₃-percolation time* $t_{P_3}(G)$ é definido como o maior $t_{P_3}(S)$ entre todos os *conjuntos hull* de G na convexidade P_3 . Analogamente definimos o

tempo de percolação geodésica $t_{gd}(G)$.

2.3 Convexidade Geométrica

Dada uma convexidade (V, \mathcal{C}) e um conjunto convexo $S \subseteq \mathcal{C}$, dizemos que p é um ponto extremo de S se $S \setminus \{p\}$ também é convexo.

Um convexidade (V, \mathcal{C}) é *geométrica* (ou *antimatróide*) se satisfaz a propriedade adicional de Minkowski-Krein-Milman: cada conjunto convexo é o fecho convexo de seus pontos extremos. Sabe-se que essa propriedade é equivalente a propriedade Antiexchange: para qualquer conjunto S e dois pontos distintos $x, y \notin S, x \in \mathcal{H}(S \cup \{y\})$ implica $y \notin \mathcal{H}(S \cup \{x\})$. O termo antiexchange vêm da teoria de matróides.

Para qualquer convexidade geométrica o seguinte resultado fundamental se mantém.

Teorema 2.1. *Seja (V, \mathcal{C}) uma convexidade geométrica. Então $S \in \mathcal{C}$ se e somente se existe uma ordenação (x_1, x_2, \dots, x_k) de $V \setminus S$ tal que x_i é um ponto extremo de $S \cup \{x_i, \dots, x_k\}$ para $i = 1, \dots, k$ (DRAGAN; NICOLAI; BRANDSTÄDT, 1999)*

Algumas classes de grafos podem ser caracterizadas da seguinte forma. G é um membro da classe se e somente se existe uma ordenação (v_1, \dots, v_n) de $V(G)$ tal que v_i satisfaz uma certa propriedade \mathcal{P} no subgrafo induzido por $\{v_i, \dots, v_n\}$.

Por exemplo, se a propriedade \mathcal{P} significa *simplicial* (ou seja, a vizinhança do vértice é uma clique), então estamos tratando da classe dos grafos cordais.

O teorema sugere que certas classes de grafos podem estar relacionadas a uma convexidade geométrica. Por isso, é interessante perguntar para quais classe de grafos uma certa convexidade é geométrica.

3 Convexidade P_3

3.1 Introdução

Recentemente vários artigos tem sido publicados referentes a Teoria dos Grafos em diversos temas e um dos temas bastante interessantes é a convexidade. Neste capítulo, mostraremos alguns resultados obtidos na literatura em relação a convexidade P_3 e os resultados que obtivemos (ARAÚJO; SAMPAIO; SZWARCFITER, 2013) para a convexidade geodésica.

3.2 Convexidade P_3

Em 2011, Centeno et al. (CENTENO et al., 2011) provaram que o número de fecho- P_3 é NP -difícil em grafos gerais. Em 2009, Centeno et al. (CENTENO; DOURADO; SZWARCFITER, 2009) provaram que o número de intervalo- P_3 é NP -difícil em grafos bipartidos. No mesmo artigo, eles provaram que o número de convexidade- P_3 é NP -difícil em grafos split. Em 2012, R. Barbosa et. al. (BARBOSA et al., 2011) provaram que o número de Carathéodory P_3 é NP -difícil em grafos bipartidos. Em 2012, R. Barbosa et. al. (DOURADO et al., 2012) provaram que o número Radon- P_3 é NP -difícil em grafos bipartidos. Em 2012, Benevides et. al. (BENEVIDES et al., 2013) provaram que é NP -completo decidir se o tempo de percolação- P_3 é no máximo 7 em grafos bipartidos.

Resumindo esses resultados temos o seguinte teorema.

Teorema 3.1 ((CENTENO et al., 2011; CENTENO; DOURADO; SZWARCFITER, 2009; BARBOSA et al., 2011; DOURADO et al., 2012; BENEVIDES et al., 2013)). *Os seguintes parâmetros da convexidade P_3 são NP -difíceis em grafos bipartidos: número de intervalo, número de Carathéodory, número de Radon e tempo de percolação.*

Neste trabalho, nós provamos a NP -completude em grafos bipartidos dos parâmetros restantes: o número fecho- P_3 e o número de convexidade- P_3 . As provas desses resultados estão nas duas próximas seções.

Teorema 3.2. *Tempo de percolação é NP – completo para grafos bipartido e qualquer $k \geq 7$ fixo.*

3.3 A NP -Completude do número de fecho- P_3

Teorema 3.3. *O número de Carathéodory- P_3 , o número de Radon- P_3 , número de intervalo- P_3 e tempo de percolação- P_3 é NP -difícil em grafos bipartidos.*

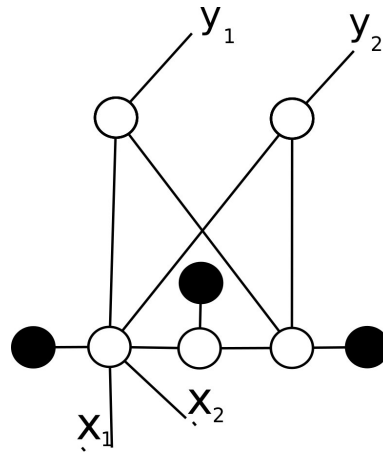


Figura 2 – engrenagem de cláusula.

Notemos que G tem $6k + 3m$ vértices de grau 1.

Notemos que $|S| = 7k + 3m$. Afirmamos que S é um conjunto fecho. Observe que, se $z_i \in S$, então todos os vértices do lado esquerdo do engrenagem de variável são percolados em no máximo quatro passos de tempo, incluindo o vertice x_i . Também observemos que, se $z_i \in S$, então todos os vértices do lado direito do engrenagem de variável são percolados em no máximo quatro passos de tempo, incluindo o vértice \bar{x}_i .

Uma vez que C_i é satisfável, para toda cláusula C_i então o vértice da cláusula C_i tem um vizinho percolado e conseqüentemente a cláusula C_i é percolada em em cinco passos de tempo. (Uma vez que também tem um vizinho de grau 1). Assim, é fácil ver que todos os vértices da engrenagem de cláusula são percolados em no máximo 8 intervalos de tempo.

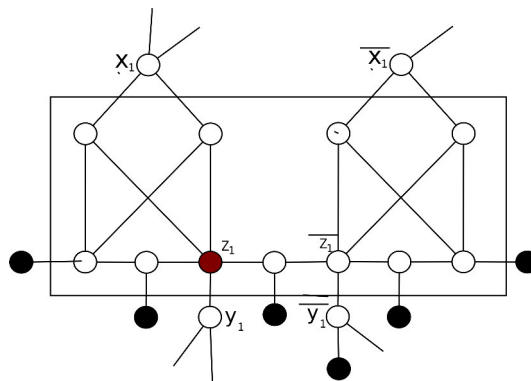


Figura 3 – vértice z_i .

Uma vez que todo literal x_i está em uma ou duas cláusulas, então o vértice y_i é adjacente a um vértice C_j^a, C_j^b ou C_j^c e um vértice de grau 1, ou y_i , e adjacente a de um vértice C_j^a, C_j^b ou C_j^c e outro vértice C_l^a, C_l^b ou C_l^c . Conseqüentemente, todo vértice y_i é percolado em 9 passos de tempo e todo vértice \bar{z}_i é percolado em no máximo 10 passos de tempo. Novamente todos os vértices da engrenagens são percolados em 14 passos de

tempo. Com isso, todos os vértices são percolados e S é um conjunto fecho com $7k + 3m$ vértices.

Para a volta, vamos supor que G tem um conjunto fecho S com $7k + 3m$ vértices. Observemos que o quadrado da engrenagem de variável na figura 4 é um conjunto convexo e, conseqüentemente, todo conjunto fecho deve ter pelo menos um vértice no quadrado de cada engrenagem de variável. Todo o vértice de grau 1 deve estar em S . Checando todas as possibilidades, não é difícil ver que os possíveis vértices são z_i ou \bar{z}_i , para toda variável x_i . Se é z_i ou \bar{z}_i respectivamente, nós vemos que o vértice x_i ou \bar{x}_i respectivamente são percolados em 4 passo de tempo.

Observemos que, se existe alguma cláusula C_j sem adjacentes percolados em quatro passo de tempo, então o vértice C'_j não pode ser mais infectado. Como S é um conjunto fecho, isso não pode acontecer. Então, todos os vértices C'_j tem um adjacente percolado na engrenagem de vértice. Isso implica que, ao atribuir o valor de verdade a x_i se S contém z_i e falso, caso contrário, assim, todas as cláusulas serão satisfeitas e isso é uma atribuição de valoração verdadeira para satisfazer ϕ .

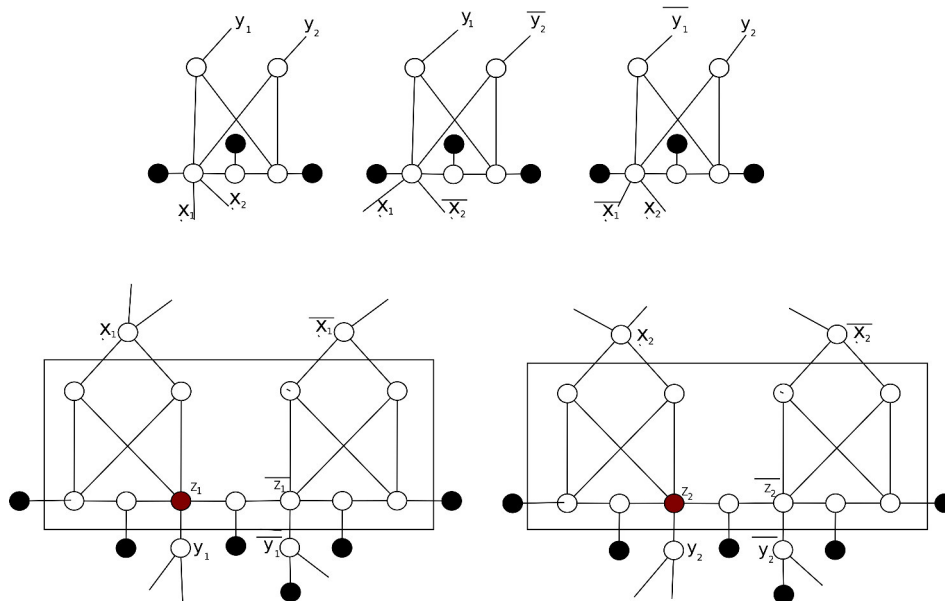


Figura 4 – engrenagem de cláusula e variável

□

3.4 A NP -Compleitude do número de convexidade- P_3

Teorema 3.5. *O número de convexidade- P_3 é NP -difícil em grafos bipartidos.*

Faremos a redução do Exact Cover para o problema do número de convexidade P_3 .

Dada uma coleção \mathcal{S} de subconjuntos de X , uma cobertura exata é um subconjunto \mathcal{S}^* de \mathcal{S} tal que cada elemento em X pertence a exatamente um subconjunto de \mathcal{S}^* . Dizemos que cada elemento de X é coberto por exatamente um subconjunto de \mathcal{S}^* . Em ciência da computação, o problema do Exact Cover é um problema de decisão para decidir se existe ou não uma cobertura exata de X com subconjuntos de S . Sabe-se que o problema do Exact Cover é um problema NP -completo (GAREY; JOHNSON, 1990). Usaremos o problema da cobertura exata com conjuntos 3.

Demonstração. Obtemos a redução a partir do Exact Cover by 3-sets.

Seja o conjunto $U = \{u_1, u_2, \dots, u_{3n}\}$ e uma família $S = \{S_1, S_2, \dots, S_m\}$ de três elementos subconjuntos de U , o objetivo é decidir se existe uma subfamília $S' \subseteq S$, com $|S'| = n$. Vamos construir um grafo bipartido G tal que existe uma cobertura exata de U se e somente se o número de convexidade- P_3 de G é $n + 1$

O grafo é construído da seguinte maneira: Criamos três vértices auxiliares W, U' e U'' e duas arestas (WU') e (WU'') . Para cada conjunto $S_i \in S$, criamos um vértice S_i em G e conectamos ele com uma aresta de W . Para cada elemento $u_j \in U$, criamos um vértice u_j em G e o conectamos com uma aresta de U' e U'' . Se $u_j \in S_i$, criamos uma aresta do vértice u_j para o vértice S_i em G .

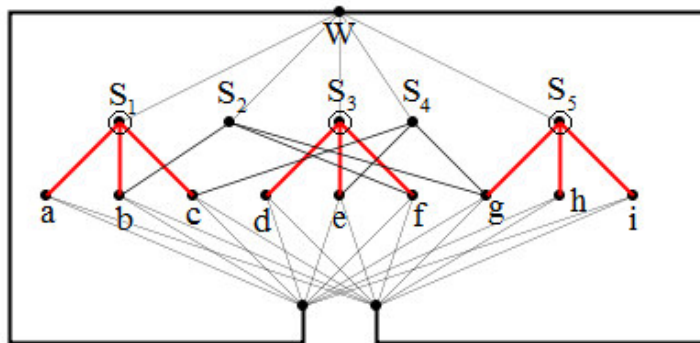


Figura 5 – Grafo G

Se existe uma cobertura exata C de U , é fácil ver que a vértices de G associados aos subconjuntos na cobertura C e o vértice auxiliar W formam um conjunto P_3 -convexo em G (uma vez que os adjacentes destes vértices não têm intersecção) com $n + 1$ vértices.

Para a volta, vamos supor que G tem um conjunto P_3 -convexo $C \neq V(G)$ com $n + 1$ vértices. Se C tem dois vértices u_j e u_l , então $\text{hull}(C) = V(G)$, uma vez que $U', U'' \in \text{hull}(\{u_j, u_l\})$, todos os vértices $u_i \in \text{hull}(\{U', U''\})$, todo o vértice $S_k \in$

$\text{hull}(\{u_1, u_2, \dots, u_{3n}\})$ e $W \in (\{S_1, S_2, \dots, S_n\})$. Analogamente, C não pode conter um vértice u_j e o vértice W .

Se C contém dois vértices de S_i e S_k tal que o conjunto $S_j \cap S_k \neq \emptyset$ o $\text{hull}(\{S_i, S_k\})$, contém o vértice u_j e o vértice W e conseqüentemente $\text{hull}(C) = V(G)$ como foi observando anteriormente.

Agora os casos onde só são possíveis se C contém exatamente um vértice S_i e um vértice u_j , ou C contém o vértice W e vértices $S_{i_1}, S_{i_2}, \dots, S_{i_n}$, tal que $S_{i_a} \cap S_{i_b} \neq \emptyset$ para qualquer $a < b \in \{1, 2, \dots, n\}$. Considerando $n > 1$ o único caso possível é o segundo. Isto implica que S_{i_1}, \dots, S_{i_n} formam um exact cover.

□

4 Convexidade dos caminhos induzidos de ordem três

4.1 Introdução

Um dos temas da nossa dissertação é a convexidade dos caminhos induzidos de ordem três, uma métrica para conjuntos convexos na qual conseguimos um parâmetro interessante entre as convexidades conhecidas e que iremos introduzir a partir de agora.

4.2 A convexidade P_3^*

Embora nosso estudo tenha iniciado em busca de resultados para a convexidade geodésica, em meio a nossa busca, construímos uma nova convexidade que relaciona a convexidade P_3 com a convexidade geodésica, que denominamos por convexidade P_3^* .

Na convexidade P_3^* , os conjuntos convexos são fechados sob caminhos induzidos de comprimento dois. Isto é, um subconjunto $S \subseteq V(G)$ é P_3^* -convexo se todos os vértices de um caminho induzido de comprimento 2 (ou seja, um P_3 entre dois vértices de S também pertence a S).

Uma motivação para o estudo da convexidade proposta é que, além de ser parecida com a convexidade P_3 , ela preenche uma lacuna existente entre as convexidades monofônica e m^3 .

Mas, de fato, a principal motivação é a forte relação com a convexidade geodésica descrita no teorema abaixo.

Teorema 4.1. *Seja m um inteiro positivo e H um grafo não completo. Seja $G = H + K_m$. Então,*

- $hn_{gd}(G) = hn_{P_3^*}(H)$,
- $in_{gd}(G) = in_{P_3^*}(H)$,
- $cx_{gd}(G) = cx_{P_3^*}(H) + m$,
- $cth_{gd}(G) = \max\{cth_{P_3^*}(H), 2\}$,
- $t_{gd}(G) = \max\{t_{P_3^*}(H), 1\}$.

Para simplificar a prova do teorema acima, vamos dividi-lo em cinco lemas e provar o lema auxiliar abaixo.

Lema 4.1. *Dado um inteiro $m \geq 1$ e um grafo H , seja $G = H + K_m$. Seja $S \subseteq V(H)$ um subconjunto contendo dois vértices não adjacentes. Portanto*

$$\mathcal{H}_{gd,G}(S) = \mathcal{H}_{P_3^*,G}(S) = \mathcal{H}_{P_3^*,H}(S) \cup \{V(K_m)\}$$

$$\mathcal{I}_{gd,G}(S) = \mathcal{I}_{P_3^*,G}(S) = \mathcal{I}_{P_3^*,H}(S) \cup \{V(K_m)\}$$

Demonstração. Todo caminho mínimo em G entre vértices de H é uma aresta ou forma um P_3 induzido. Além disso todo P_3 induzido em H é um caminho mínimo. Finalmente como S tem dois vértices não adjacentes, temos que o intervalo de S contém os vértices da clique K_m . \square

Lema 4.2. *Dado um inteiro $m \geq 1$ e um grafo H , temos que $hn_{gd}(H + K_m) = hn_{P_3^*}(H)$ e $t_{gd}(H + K_m) = \max\{t_{P_3^*}(H), 1\}$.*

Demonstração. Seja $G = H + K_m$. Seja C um conjunto hull de H na convexidade P_3^* . Queremos provar que C também é um conjunto hull de G na convexidade geodésica. Considere o seguinte processo de infecção de H na convexidade P_3^* : $C_0, C_1, C_2, \dots, C_t$, onde $C_{i+1} = \mathcal{I}_{P_3^*}(C_i)$, para todo $1 \leq i < t$, $C_0 = C$ e $C_t = V(H)$. Podemos supor que $|C_0| < |C_1| < \dots < |C_t|$.

É fácil ver que C_0 tem dois vértices não adjacentes (caso contrário, C_0 não infectaria ninguém). Também é fácil ver que todos os vértices do K_m estão em $\mathcal{I}_{gd}(C_i)$. Note ainda que todo vértice de G está a uma distância 1 ou 2 de qualquer outro vértice de G . Seja $z \in C_{i+1}$ e $z \notin C_i$, para algum $1 \leq i < t$. Logo existem vértices $x, y \in C_i$ não adjacentes entre si e adjacentes a z . Portanto, xyz é um caminho mínimo entre x e y . Consequentemente, $z \in \mathcal{I}_{gd}(C_i)$, e portanto $C_{i+1} \cup K_m \subseteq \mathcal{I}_{gd}(C_i)$.

Note ainda que todo vértice infectado geodesicamente só pode ter sido infectado segundo o modo descrito acima. Logo, $C_{i+1} \cup K_m = \mathcal{I}_{gd}(C_i)$. Portanto, $C_0, C_1 \cup V(K_m), C_2 \cup V(K_m), \dots, C_t \cup V(K_m) = V(G)$ é uma infecção geodésica. Logo $C = C_0$ é um conjunto hull de G na convexidade geodésica. Portanto, $hn_{gd}(G) \leq hn_{P_3^*}(H)$. Note que, se $C = V(H)$, então $t = 0$, mas o tempo de percolação geodésica de C em G seria 1. Portanto $t_{gd}(G) \geq \max\{t_{P_3^*}(H), 1\}$.

Seja agora C' um conjunto hull minimal de G na convexidade geodésica. Considere o seguinte processo de infecção de G na convexidade geodésica: $C'_0, C'_1, C'_2, \dots, C'_{t'}$, onde $C'_{i+1} = \mathcal{I}_{gd}(C'_i)$, para todo $1 \leq i < t'$, $C'_0 = C'$ e $C'_{t'} = V(G)$. Podemos supor que $|C'_0| < |C'_1| < \dots < |C'_{t'}|$.

Note que os vértices do K_m não infectam ninguém, pois estão a distância 1 de qualquer outro vértice de G . Isso implica que C' não contém vértices do K_m , caso contrário não seria minimal. Seja $z' \in C'_{i+1} \cap V(H)$ e $z' \notin C'_i$, para algum $1 \leq i < t'$. Logo existem vértices $x', y' \in C'_i$ tal que z' está em um caminho mínimo entre x', y' . Como, em G , x' e y' estão a distância 2, então z' é adjacente a ambos. Consequentemente, $z' \in \mathcal{I}_{P_3^*}(C'_i)$, e portanto $C'_{i+1} \cap V(H) \subseteq \mathcal{I}_{gd}(C'_i \cap V(H))$. Com isso é fácil concluir que C'_0 é um conjunto hull de

H na convexidade P_3^* . Logo, $hn_{P_3^*}(H) \leq hn_{gd}(G)$. Note que, se $C' = V(H)$, então $t' = 1$, mas o tempo de percolação P_3^* de C' em H seria 0. Portanto $t_{gd}(G) \leq \max\{t_{P_3^*}(H), 1\}$.

Portanto $hn_{gd}(G) = hn_{P_3^*}(H)$ e $t_{gd}(G) = \max\{t_{P_3^*}(H), 1\}$. \square

Lema 4.3. *Dado um inteiro $m \geq 1$ e um grafo H , temos que $in_{gd}(H + K_m) = in_{P_3^*}(H)$.*

Demonstração. Segue direto do Lema 4.1. \square

Lema 4.4. *Dado um inteiro $m \geq 1$ e um grafo H , temos que $cx_{gd}(H + K_m) = cx_{P_3^*}(H) + m$.*

Demonstração. Seja $G = H + K_m$. Se C é um conjunto convexo P_3^* de H , então $C \cup V(K_m)$ é um conjunto convexo geodésico de G , pois não há vértice fora de C vizinho a dois vértices não adjacentes de C e portanto todos vértices em caminhos de tamanho 2 entre dois vértices de C já pertencem a C .

Seja agora C' um conjunto convexo máximo de G na convexidade geodésica. É fácil ver que C' contém os vértices do K_m , caso contrário não seria máximo. Além disso, $C' \cap V(H)$ é um conjunto convexo na convexidade P_3^* , pois não há vértice fora de C' em um caminho de tamanho 2 entre dois vértices não adjacentes de C' .

Logo, $cx_{gd}(H + K_m) = cx_{P_3^*}(H) + m$. \square

Para provar o resultado análogo para o número de Carathéodory, é útil usar uma definição alternativa para esse parâmetro. Dizemos que um conjunto S de vértices de um grafo G é um *conjunto de Carathéodory* se o conjunto $\partial\mathcal{H}(S)$ definido como

$$\partial\mathcal{H}(S) = \mathcal{H}(S) \setminus \bigcup_{s \in S} \mathcal{H}(S \setminus \{s\})$$

é não vazio. O número de Carathéodory pode também ser definido como sendo o tamanho do maior conjunto de Carathéodory.

Lema 4.5. *Dado um inteiro $m \geq 1$ e um grafo H , temos que $cth_{gd}(H + K_m) = \max\{cth_{P_3^*}(H), 2\}$.*

Demonstração. Seja $G = H + K_m$. Seja S um conjunto de Carathéodory de H na convexidade P_3^* . Queremos provar que S também é um conjunto de Carathéodory de G na convexidade geodésica. Observe que S não pode ser uma clique pois senão $\partial(S) = \emptyset$. Logo $\mathcal{H}_{gd}(S)$ contém a clique K_m . Portanto, do Lema 4.1, temos o desejado, pois

$$\begin{aligned} \partial\mathcal{H}_{gd,G}(S) &= \mathcal{H}_{gd,G}(S) \setminus \bigcup_{s \in S} \mathcal{H}_{gd,G}(S \setminus \{s\}) = \\ &= \mathcal{H}_{P_3^*,G}(S) \setminus \bigcup_{s \in S} \mathcal{H}_{P_3^*,G}(S \setminus \{s\}) \supseteq \mathcal{H}_{P_3^*,H}(S) \setminus \bigcup_{s \in S} \mathcal{H}_{P_3^*,H}(S \setminus \{s\}) \neq \emptyset \end{aligned}$$

Seja agora S' um conjunto de Carathéodory de G na convexidade geodésica com mais de dois vértices. Queremos provar que S' também é um conjunto de Carathéodory de

H na convexidade P_3^* . É fácil ver que S' não é uma clique, caso contrário $\partial\mathcal{H}(S) = \emptyset$. Observe que S' não contém vértices da clique K_m . Isso porque, se S' tivesse um vértice s da clique K_m então $\mathcal{H}_{gd,G}(S' \setminus \{s\}) = \mathcal{H}_{gd,G}(S')$, pois S' tem dois vértices não adjacentes que infectam s e o vértice s não é extremidade de nenhum caminho mínimo de tamanho maior ou igual a 2. Portanto $S' \subseteq V(H)$. Observe ainda que, como S' tem pelo menos três vértices e pelo menos dois não adjacentes entre si, então existe um vértice $s \in S'$ tal que $\mathcal{H}_{gd,G}(S' \setminus \{s\})$ contém a clique K_m .

Com isso, desses argumentos e do Lema 4.1, temos que

$$\begin{aligned} \partial\mathcal{H}_{P_3^*,H}(S') &= \mathcal{H}_{P_3^*,H}(S') \setminus \bigcup_{s \in S'} \mathcal{H}_{P_3^*,H}(S' \setminus \{s\}) = \\ &= \mathcal{H}_{gd,H}(S') \setminus \bigcup_{s \in S'} \mathcal{H}_{gd,H}(S' \setminus \{s\}) \supseteq \mathcal{H}_{gd,G}(S') \setminus \bigcup_{s \in S'} \mathcal{H}_{gd,G}(S' \setminus \{s\}) \neq \emptyset \end{aligned}$$

Finalmente, note que todo par $\{x, y\}$ de vértices não adjacentes de H forma um conjunto de Carathéodory de G na convexidade geodésica, pois $\mathcal{H}_{gd,G}(\{x, y\})$ contém os vértices da clique K_m , mas $\mathcal{H}_{gd,G}(\{x\}) \cup \mathcal{H}_{gd,G}(\{y\}) = \{x, y\}$. Portanto, $cth_{gd}(G) \geq 2$. \square

Observe que, em grafos livre de triângulos, a convexidade P_3^* é idêntica a convexidade P_3 , uma vez que cada caminho de comprimento dois é induzido. Temos então, pelos resultados do capítulo anterior, o seguinte teorema.

Teorema 4.2. *Os seguintes parâmetros da convexidade P_3^* são NP-difíceis em grafos bipartidos: hull number, interval number, convexity number, Caratheódory number, Radon number e percolation time.*

Com isso, podemos obter reduções polinomiais da convexidade P_3^* para a convexidade geodésica, que implicam o seguinte.

Teorema 4.3. *O hull number, o convexity number, o interval number, o Carathéodory number e o percolation time da convexidade geodésica são NP-difíceis.*

Desses resultados, o único resultado novo de NP-completude é o percolation time geodésico, pois os demais já foram obtidos entre 2010 e 2012 nos artigos (ARAÚJO et al., 2011; DOURADO et al., 2012; DOURADO et al., 2010b; DOURADO et al., 2013).

5 Convexidades Geométricas

5.1 Introdução

Dada uma convexidade (V, \mathcal{C}) e um conjunto convexo $S \subseteq \mathcal{C}$, dizemos que p é um ponto extremo de S se $S \setminus \{p\}$ também é convexo.

Um convexidade (V, \mathcal{C}) é *geométrica* (ou *antimatróide*) se satisfaz a propriedade adicional de Minkowski-Krein-Milman: cada conjunto convexo é o fecho convexo de seus pontos extremos. Sabe-se que essa propriedade é equivalente a propriedade Antiexchange: para qualquer conjunto S e dois pontos distintos $x, y \notin S, x \in \mathcal{H}(S \cup \{y\})$ implica $y \notin \mathcal{H}(S \cup \{x\})$.

Para qualquer convexidade geométrica, o seguinte resultado fundamental se mantém.

Teorema 5.1 ((FARBER; JAMISON, 1986)). *Seja (V, \mathcal{C}) uma convexidade geométrica. Então $S \in \mathcal{C}$ se e somente se existe uma ordenação (x_1, x_2, \dots, x_k) de $V \setminus S$ tal que x_i é um ponto extremo de $S \cup \{x_1, \dots, x_k\}$ para $i = 1, \dots, k$*

Algumas classes de grafos podem ser caracterizadas da seguinte forma. G é um membro da classe se e somente se existe uma ordenação (v_1, \dots, v_n) de $V(G)$ tal que v_i satisfaz uma certa propriedade \mathcal{P} no subgrafo induzido por $\{v_i, \dots, v_n\}$.

Por exemplo, se a propriedade \mathcal{P} significa *simplicial* (ou seja, a vizinhança do vértice é uma clique), então estamos tratando da classe dos grafos cordais.

O teorema sugere que certas classes de grafos podem estar relacionadas a uma convexidade geométrica. Por isso, é interessante perguntar para qual classe de grafos uma certa convexidade é geométrica. Diremos que uma classe de grafos é *caracterizada* por uma certa convexidade se essa convexidade só é geométrica em grafos desta classe.

Nos artigos (HOWORKA, 1981), (FARBER; JAMISON, 1986), (HARARY; HEDET-NIEMI, 1970) estudaram quais classes de grafos são caracterizadas pelas convexidades monofônica, geodesica e m^3 , ou seja, investigaram em quais grafos essas convexidades são geométricas. Também podemos fazer a pergunta inversa. Dada uma classe de grafos, existe alguma convexidade que só é geométrica nessa classe? Ou seja, existe uma convexidade que caracteriza esta classe?

5.2 Resultados Conhecidos

5.2.1 Convexidade monofônica

Nesta seção, mostraremos os resultados do artigo (FARBER; JAMISON, 1986) provando que a convexidade monofônica caracteriza os grafos cordais. Um grafo é *cordal* se

ele não contém ciclos de tamanho maior que 3 em um subgrafo induzido.

Um vértice é *simplicial* se a sua vizinhança induz um subgrafo completo. O seguinte teorema caracteriza os grafos cordais.

Teorema 5.2 ((ROSE, 1970)). *Seja G um grafo. Então as seguintes proposições são equivalentes*

- (a) G é cordal.
- (b) Cada conjunto de corte minimal de cada subgrafo induzido de G induz um grafo completo.
- (c) Cada subgrafo induzido de G tem um vértice simplicial

Observe que um vértice v é ponto extremo de um conjunto m -convexo K se e somente se v é simplicial em $G[K]$. Por isso, a convexidade monofônica de um grafo G é uma convexidade geométrica se G é cordal. O teorema abaixo mostra que essa condição necessária é também suficiente.

Teorema 5.3 ((FARBER; JAMISON, 1986)). *Em um grafo cordal, cada vértice não simplicial encontra-se em um caminho induzido entre dois vértices simpliciais.*

Demonstração. Vamos provar por indução no número de vértices, o caso base é trivial.

Seja G um grafo cordal com n vértices e suponha que o teorema é válido para cada grafo cordal com menos que n vértices. Suponha que v é um vértice não simplicial de G . Então v tem dois vizinhos não adjacentes, dizemos u_1 e u_2 . Seja C um conjunto minimal de vértices de $V \setminus \{u_1, u_2\}$ que satisfaz todos os caminhos $u_1 - u_2$. Claramente $v \in C$. Para $i = 1, 2$, seja W_i o conjunto de vértices da componente de $G - C$ que contém u_i e seja $G_i = G[W_i \cup C]$. Então C é um conjunto de corte minimal de $G[W_1 \cup W_2 \cup C]$, e assim $G[C]$ é um grafo completo pelo teorema 5.2. Pela hipótese de indução, ou u_i é simplicial em G_i ou u_i encontra-se em um caminho induzido entre vértices simpliciais de G_i . Em ambos os casos, G_i tem um vértice simplicial, z_i , em W_i , para $i = 1, 2$, uma vez que $G[C]$ é um grafo completo. Observe que z_i é também simplicial em G . Uma vez que C é um corte minimal em $G[W_1 \cup W_2 \cup C]$, existe um caminho induzido $z_1 - v$, chamamos de P_1 , em $G[W_1 \cup \{v\}]$, e um caminho induzido $v - z_2$, chamamos de P_2 , em $G[W_2 \cup \{v\}]$. Uma vez que C é um conjunto de corte $P_1 \cdot P_2$ é um caminho coral em G de junção de vértices simpliciais e contendo v .

A validade do teorema segue por indução.

□

A partir do teorema 5.3 nós obtemos um análogo do teorema de Minkowski-Krein-Milman, que segue como corolário.

Corolário 5.1 ((FARBER; JAMISON, 1986)). *Se G é cordal, então a convexidade monofônica de G é uma convexidade geométrica.*

Corolário 5.2 ((FARBER; JAMISON, 1986)). *Em um grafo cordal $G(V, E)$ um subconjunto K de vértices é m -convexo se e somente se, existe uma ordenação v_1, v_2, \dots, v_l de $V \setminus K$ tal que, para cada $i = 1, 2, \dots, l, v_i$ é simplicial em $G[K \cup \{v_i, v_{i+1}, \dots, v_l\}]$*

Demonstração. Isso segue imediatamente de Teorema 5.1, Corolário 5.1, e a relação entre vértices simpliciais e pontos extremos do conjunto m -convexo. \square

5.2.2 Convexidade Geodésica

Nesta seção, mostraremos os resultados do artigo (FARBER; JAMISON, 1986) provando que a convexidade geodésica caracteriza os grafos *Ptolemaicos*. Um grafo G é ptolemaico se para quaisquer 4 vértices a, b, x, y de uma mesma componente conexa de G a seguinte desigualdade é válida.

$$d(a, b) \cdot d(x, y) \leq d(a, x) \cdot d(b, y) + d(b, x) \cdot d(a, y).$$

O teorema abaixo apresenta várias caracterizações para os grafos Ptolemaicos. Por exemplo, mostra que os grafos Ptolemaicos são os grafos cordais livres de 3-fan (ver figura 6), e que são também os grafos cordais que são distância-hereditária (um grafo é *distância-hereditária* se as distâncias em qualquer subgrafo induzido conexo são as mesmas do grafo original).

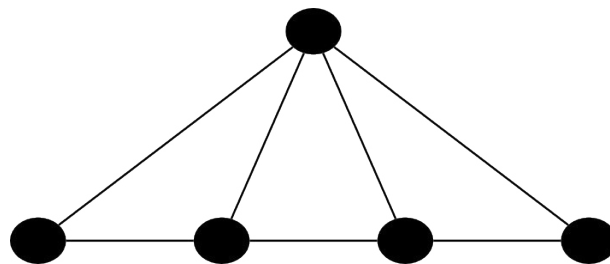


Figura 6 – 3-fan

O teorema seguinte mostra a relação entre essas propriedades.

Teorema 5.4 ((FARBER; JAMISON, 1986)). *Seja G um grafo. Então as seguintes propriedades são equivalentes*

- (a) G é um grafo Ptolemaico.
- (b) G é cordal e cada ciclo de 5 vértices tem no mínimo 3 cordas.
- (c) G é cordal e não contém 3-fan induzido.
- (d) G é cordal e todo o induzido é um menor caminho.

(e) A convexidade geodésica de G é uma convexidade geométrica.

(f) G é cordal e a convexidade monofônica e geodésica de G são idênticas.

Demonstração. A equivalência de (a), (c) e (d) é devido a Howorka (HOWORKA, 1981), e a equivalência de (b) e (c) é trivial. Vamos estabelecer 3 implicações, ou seja, (d) implica (e), (e) implica (f), e (f) implica (c). O fato da condição (d) implicar a condição (e) segue imediatamente do Corolário 5.1.

Suponha que a condição (e) é válida. Como todo ponto extremo de um conjunto K g -convexo é um vértice simplicial em $G[K]$, então G deve ser cordal pelo Teorema 5.2. Além disso, todo conjunto g -convexo deve ser convexidade monofônica pelo Corolário 5.2. Claramente, qualquer conjunto m -convexo é g -convexo. Portanto, a condição (f) se mantém.

Finalmente, suponha que G é cordal e contém 3-fan, seja u_0, u_1, u_2, u_3 o caminho induzido e $vu_i \in E$ para $i = 0, 1, 2, 3$. Observe que $\{u_1, u_2\}$ está contido no fecho monofônico de $\{u_0, u_3\}$. Por outro lado, afirmamos que nem u_1 nem u_2 é um fecho convexo de $\{u_0, u_3\}$. Seja A o conjunto de vértices entre o caminho $u_0 - u_3$. Observe que $u_1, u_2 \notin A$. Uma vez que, $d(u_0, u_3) = 2$, $A \setminus \{u_0, u_3\}$ é um conjunto de corte minimal $G[A]$. Por isso, $A \setminus \{u_0, u_3\}$ induz um subgrafo completo, pelo Teorema 5.2. Disso resulta que A é g -convexo. Por isso, a condição (f) implica a condição (c). \square

5.2.3 Convexidade m^3

Nesta seção, mostraremos os resultados do artigo (DRAGAN; NICOLAI; BRANDSTÄDT, 1999) provando que a convexidade m^3 caracteriza os grafos bipolarizados-fracos (*weak bipolarizable*), definidos como os grafos livres de HHDA (ou seja, livre de *Hole* (buraco), *House* (casa), *Dominó* e o grafo A da Figura 7) em (OLARIU, 1989).

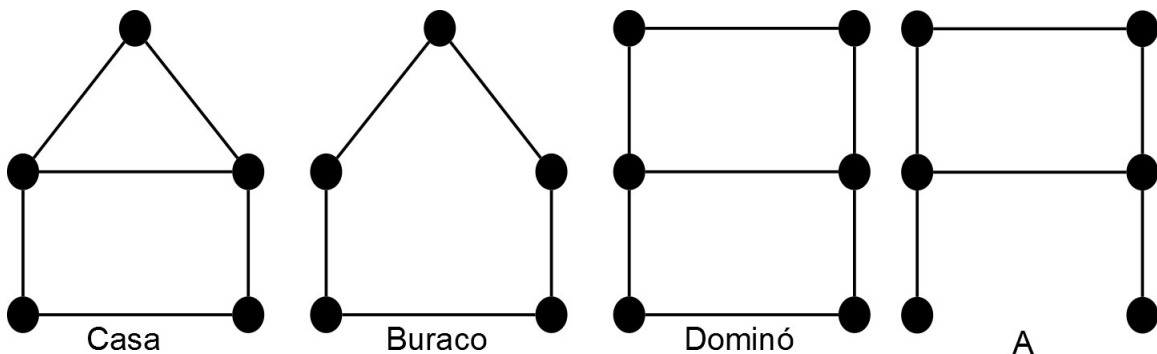


Figura 7 – grafo livre de HHDA

Dizemos que um vértice é *semisimplicial* se não está no meio de um P_4 induzido.

Lema 5.3. *Um vértice v é um ponto extremo de um conjunto m^3 -convexo K se e somente se v é semisimplicial em $G[K]$.*

Nesta seção, mostraremos a prova de (DRAGAN; NICOLAI; BRANDSTÄDT, 1999) de que os vértices semisimpliciais estão para a convexidade m^3 e os grafos bipolarizados-fracos assim como os vértices simpliciais estão para a convexidade monofônica e os grafos cordais (ver Lema 5.7).

Mostraremos também a prova de (DRAGAN; NICOLAI; BRANDSTÄDT, 1999) de que a convexidade m^3 é geométrica se e somente se o grafo é bipolarizado fraco (ver Teorema 5.6).

Para a prova desses resultados e por completude são necessários alguns resultados auxiliares.

Seja $\mathcal{M}^3(G)$ denotado pelo conjunto de todo os conjuntos m^3 -convexo de um grafo. Para um conjunto $S \subseteq V$ o m^3 -convexo hull $m^3\text{-conv}(S)$ é o menor membro de $\mathcal{M}^3(G)$ contendo S .

Um conjunto $H \subseteq V$ é homogêneo se e somente se $N(x) \setminus H = N(y) \setminus H$ para cada par de vértices x, y de H . um conjunto homogêneo é próprio se e somente se $1 < |H| < |V|$.

O próximo lema dá um bom critério para verificar a semisimplicialidade de um vértice.

Lema 5.4. (DRAGAN; NICOLAI; BRANDSTÄDT, 1999) *Um vértice v de um grafo G é semisimplicial em G se e somente se a componente conexa de todo complemento de $G(N(v))$ são homogêneos em G .*

Demonstração. Se v não é semisimplicial então existe um P_4 contendo v como ponto central, por exemplo $u_1 - v - u_2 - u_3$. Agora u_1 e u_2 pertencem a uma componente conexa C de complemento de $G(N(v))$. Porém C não é homogêneo em G devido a u_3 .

Para comprovar o contrário seja C uma componente conexa do complemento de $G(N(v))$ e suponha que C não é homogêneo em G . Então deve haver vértices $x, y \in C$ e um vértice $z \in V \setminus C$ tal que $xy \in E$ mas $yz \notin E$. Podemos escolher x e y tal que a sua distância no complemento de $G(C)$ é minimal. Obviamente, $z \neq v$. Além disso, uma vez que $yz \notin E$ mas cada vértice de $N(v) \setminus C$ deve ser adjacente a cada vértice de C , temos $z \notin N(v)$. Assim $z \in N^2(v)$. Se $xy \notin E$ então $z - x - v - y$ é um P_4 . Se $xy \in E$ então seja $x - u_1 - \dots - u_k - y$ um caminho mais curto no complemento de $G(C)$. Assim, $xu_1 \notin E$. A distância minimal de x, y agora implica $u_1z \notin E$. Portanto, $z - x - v - u_1$ é um P_4 . \square

Teorema 5.5. (DRAGAN; NICOLAI; BRANDSTÄDT, 1999) *Um grafo G é bipolarizado fraco se e somente se cada subgrafo induzido F de G é cordal ou contém um conjunto homogêneo próprio (OLARIU, 1989).*

Seja H um conjunto homogêneo próprio em G e $v \in H$ Então a *redução homogênea* $HREd(G, H, v)$ é o grafo induzido por $V(G) \setminus (H \setminus \{v\})$. Por outro lado, a *extensão homogênea* $HExt(G, v, H)$ de G via um grafo H em v com $V(H) \cap V(G) = \emptyset$ é o grafo obtido ao substituir v por H tal que os vértices de H possui os mesmos vizinhos fora de H como v tem em G .

Lema 5.5. (DRAGAN; NICOLAI; BRANDSTÄDT, 1999) *Seja H um conjunto homogêneo próprio de um grafo G livre de HHD e seja $v \in H$.*

- (1) *Se x é semisimplicial em $HRed(G, H, v)$ mas não em G , então $x \in H$, isto é, $x = v$.*
- (2) *Se $x \in H$ é semisimplicial em H mas não em G , então nenhum vértice de H é semisimplicial em G e v não é semisimplicial em $HRed(G, H, v)$.*

Demonstração. Uma vez que nenhum P_4 contém um conjunto homogêneo próprio, nós concluímos que qualquer 4-caminhos P de G , ou $P \subseteq H$ ou $|P \cup H| \leq 1$.

- (1) Uma vez que x não é semisimplicial em G , deve estar em um ponto médio de algum P_4 induzido. Se $x \notin H$ então a semisimplicidade de x em $HRed(G, H, v)$ implica $|P \cup H| = 1$. Mas agora podemos substituir o vértice de $P \cup H$ por v obtendo um P_4 em $HRed(G, H, v)$, que contém x como um ponto médio, uma contradição. Assim $x \in H$, isto é, $x = v$.
- (2) Se $x \in H$ é semisimplicial em H , mas não em G , então nenhum P_4 em G contém x como um ponto médio está completamente contido em H . Assim $P \cup H = \{x\}$ para qualquer P_4 induzido em G com ponto médio x . Uma vez que H é homogêneo podemos substituir x em P por qualquer vértice de H . Assim nenhum vértice de H é semisimplicial em G , e v não é semisimplicial em $HRed(G, H, v)$.

□

Em (FARBER; JAMISON, 1986) é provado que em um grafo cordal cada vértice não simplicial encontra-se em um caminho induzido entre dois vértices simpliciais. Em seguida apresentamos um resultado mais forte que iremos utilizar subsequentemente.

Lema 5.6. (DRAGAN; NICOLAI; BRANDSTÄDT, 1999) *Seja G um grafo cordal e $P = v_1 - \dots - v_k$ um caminho induzido de tamanho pelo menos dois, isto é, $k \geq 3$. Então existem vértices $u_i, i = 1, \dots, s$ e $w_j, j = 1, \dots, t$ tal que u_1, w_1 são simpliciais e $u_1 - u_2 - \dots - u_s - v_2 - \dots - v_{k-1} - w_t - \dots - w_2 - w_1$ em um caminho induzido em G .*

Demonstração. Se tanto v_1 e v_k são simpliciais então é trivial. Então suponha que v_1 não é simplicial.

Seja M o m -convexo hull de $\{v_1, \dots, v_k\}$ e S a vizinha de v_1 em M . Evidentemente, S é um separador $v_1 - v_3$ em M , isto é, v_1 e v_3 estão em diferentes componentes conexas de $G(M) \setminus S$. Nós mostramos que S é um separador $v_1 - v_3$ em G também. Assumindo o contrário deve haver um caminho induzido P em $V \setminus S$ juntando v_1 e v_3 . Uma vez que S é o conjunto de vizinhos de v_1 em M que contém vértices de $V \setminus M$ uma contradição com a m -convexidade de M . Portanto, S é um separador $v_1 - v_3$ em G .

Recordamos que todos os grafos cordais ou são completos ou contém pelo menos dois vértices simpliciais não adjacentes. Assim $G(M)$ como um grafo cordal deve conter pelo

menos dois vértices simpliciais. Uma vez que a retirada de um vértice de um conjunto m -convexo preserva a m -convexidade e desde que M m -convexo hull de $\{v_1, \dots, v_k\}$ imediatamente concluímos que v_1 e v_k são os únicos dois vértices simpliciais de M . Assim S é completo.

Uma vez que v_1 não é simplicial e todos os vizinhos de v_1 estão contidos em $F := G(K \cup S)$, em que K é uma componente conexa de $G \setminus S$ contendo v_1 , o grafo cordal F não é completo e portanto existem dois vértices simpliciais não adjacentes em F . Pela completude de S no máximo 1 deles está em S . Assim temos um vértice simplicial u_1 em K que também é simplicial em G . Agora considere um caminho P conectando os vértices v_1 e u_1 em K . Nenhum vértice até v_2 de um subcaminho induzido $u_1 - \dots - u_s - v_2$ do caminho $P \cup v_1 v_2$ tem um vizinho em $\{v_3, \dots, v_k\}$. Consequentemente, $u_1 - \dots - u_s - v_2 - \dots - v_k$ é um caminho induzido. Para v_k procedemos de forma análoga. □

Note que todo vértice simplicial é semisimplicial e assim, todo vértice não semisimplicial é não simplicial.

Lema 5.7. (DRAGAN; NICOLAI; BRANDSTÄDT, 1999) *Todo vértice não semisimplicial de um grafo bipolarizado fraco G encontra-se em um caminho induzido de tamanho pelo menos 3 entre dois vértices semisimpliciais.*

Demonstração. Provamos a afirmação por indução no tamanho de G . A afirmação é válida para todos os grafos com no máximo quatro vértices já que o único grafo deste tamanho que contém um vértice não semisimplicial é o P_4 . Seja x um vértice não semisimplicial de G , ou seja, x é um ponto médio de algum P_4 . Se G é cordal então pelo lema 5.6 existe um caminho P de tamanho no máximo 3 contendo x tal que ambas as extremidades de P são simpliciais e assim semisimpliciais em G . Consequentemente, está provado.

Agora assumindo que G não é cordal. Consequentemente, pelo teorema 5.5, G contém um conjunto homogêneo próprio H .

Caso 1. $x \in H$.

Suponha que x é semisimplicial em $HRed(G, H, x)$. Então pelo lema 5.5 (2), o vértice x não é semisimplicial em H . Pela hipótese de indução x encontra-se em um caminho induzido de tamanho pelo menos 3 entre vértices semisimpliciais y, z em H . Pelo lema 5.5 (2), y e z devem ser semisimpliciais em G também.

Agora vamos supor que x não é semisimplicial em $HRed(G, H, x)$. Pela hipótese de indução x encontra-se em um caminho induzido entre vértices semisimpliciais y, z em $HRed(G, H, x)$. Em particular, $y, z \notin H$. Assim pelo lema 5.5 (1), tanto y como z devem ser semisimpliciais em G também.

Caso 2. $x \notin H$.

Do lema 5.5 (1) imediatamente concluímos que x não é semisimplicial em $HRed(G, H, v)$, onde v é um vértice semisimplicial no grafo bipolarizado fraco H . Pela hipótese de

indução x encontra-se em um caminho induzido entre vértices semisimpliciais y, z em $H\text{Red}(G, H, v)$. Suponha que y não é semisimplicial em G . Do lema 5.5 (1), deduzimos $y = v$. Mas agora $y = v$ não é semisimplicial em G também. \square

Teorema 5.6. (DRAGAN; NICOLAI; BRANDSTÄDT, 1999) *As seguintes condições são equivalentes para um grafo G*

- (1) G é bipolarizado fraco.
- (2) Em cada subgrafo induzido F de G cada vértice não semisimplicial encontra-se em um caminho induzido de tamanho pelo menos 3 entre vértices semisimpliciais de F .
- (3) Cada conjunto m^3 -convexo de G é o hull dos seus vértices semisimpliciais, isto é, $V(G), \mathcal{M}^3(G)$ é uma convexidade geométrica.
- (4) Um conjunto S de G é m^3 -convexo se e somente se existe uma ordenação (v_1, \dots, v_k) de $V(G) \setminus S$ tal que para cada $i = 1, \dots, k$ o vértice v_i é semisimplicial em $G(\{v_i, \dots, v_k\} \cup S)$, isto é, S é alcançável.

Demonstração. A prova de (1) \implies (2) se devem ao Lema 5.7. A prova de (2) \implies (3) se deve ao fato de os vértices semisimpliciais serem extremos na convexidade M^3 (ver Lema 5.3) e a propriedade de Minkowsk-Krein-Milman. A prova de (3) \implies (4) se deve ao Teorema 5.1 Só precisamos provar que (4) \implies (1)

Afirmção 1. Se S é um conjunto m^3 -convexo em $F := H\text{red}(G, H, v)$, onde H é um conjunto homogêneo próprio de G , então

$$S' := \begin{cases} S & v \notin S \\ S \cup H & v \in S \end{cases}$$

é m^3 -convexo em G

Suponha que S' não é m^3 -convexo em G . Então deve haver vértices $x, y \in S'$ e um caminho induzido de tamanho pelo menos 3 juntando x e y tal que $P \setminus S' \neq \emptyset$. Se $|P \cap H| \leq 2$ então ou P ou $(P \setminus H) \cup \{v\}$ é um caminho induzido em F de tamanho pelo menos 3 juntando os vértices de S quem tem pelo menos um vértice fora de S , uma contradição a m^3 -convexidade de S em F . Agora Suponha $|H \cap P| \geq 2$. Note que $P \setminus H \neq \emptyset$. Faça $P' = u_1 - \dots - u_k$ ser um maximal pela inclusão do subcaminho de P completamente contido em H . Suponha $k \geq 2$. Se $u_1 = x$ então $u_k \neq y$ uma vez que $P \setminus H \neq \emptyset$. Uma vez que H é homogêneo u_1 deve ser adjacente ao vizinho de u_k em $P \setminus P'$ uma contradição. Se $u_1 \neq x$ então o mesmo argumento pode ser aplicado para u_k e o vizinho de u_1 em $P \setminus P'$. Agora seja $k = 1$. Para $|H \cap P| \geq 2$ deve haver um vértice $z \in H \cap P \setminus N(u_1)$. Mas agora $N(u_1) \setminus H = N(z) \setminus H$ e $|P| \geq 4$ implica algumas cordas em P , novamente uma contradição. Portanto, S' é m^3 -convexo em G .

Afirmção 2 Todo conjunto homogêneo H de um grafo G é m^3 -convexo.

Seja x, y vértices não adjacentes de um conjunto homogêneo H em G . Se x tem um vizinho z fora de H então $yz \in E$ e vice versa. Assim qualquer caminho induzido entre vértices não adjacentes de H contendo vértices a partir de $V \setminus H$ deve ser de tamanho 2. Consequentemente H é m^3 -convexo em G .

Afirmção 3 Seja H o conjunto homogêneo próprio de um grafo G . Se S é m^3 -convexo em $G(H)$ então ele é assim em G .

Uma vez que S é um subconjunto de H podemos usar os mesmo argumentos da prova da Afirmção 2.

Afirmção 4 Se v é um vértice simplicial em um grafo G então qualquer conjunto m^3 -convexo de $G \setminus \{v\}$ é m^3 -convexo em G .

Uma vez que a vizinhança de um vértice simplicial v é completa nenhum caminho induzido de tamanho 3 pode conter v como um ponto interior.

Agora vamos provar por indução no tamanho de G que qualquer grafo que satisfaz (4) é bipolarizado fraco, isto é, livre de HHDA. Uma vez que qualquer (singleton) de $V(G)$ é um conjunto m^3 -convexo, G possui uma ordenação simplicial, e portanto não contém um buraco ou dominó (ver 7). Seja F um subgrafo induzido de G isomorfo a casa 7 e K uma 3-clique. Agora o conjunto m^3 -convexo K deve ser satisfeito, mas nenhum vértice de $F \setminus K$ é simplicial em F - uma contradição. Portanto, G é um grafo livres de HHD.

Caso 1 G contém um conjunto próprio homogêneo H .

Seja v um vértice de H , $F := Red(G, H, v)$ e S um conjunto m^3 -convexo em F . Então S' tal como definido na Afirmção 1 é m^3 -convexo em G e assim satisfeito. Por isso, S é satisfeito em F uma vez que cada vértice semisimplicial de G é semisimplicial em cada subgrafo induzido que contém este vértice. Portanto, F satisfaz (4) e, pela hipótese de indução, é livre de HHDA. Aplicando o mesmo argumento a um conjunto m^3 -convexo de H e usando a Afirmção 3 implica que H é livre de HHDA. Concluímos que G por ele mesmo é livre de HHDA com a extensão homogênea do grafo F livre de HHDA pelo grafo H livre de HHDA.

Caso 2 G tem um conjunto homogêneo próprio.

Suponha que G contém um A induzido pelo ciclo de tamanho 4 $x-c-d-y-x$ e vértices (pendant) a, b onde $ax \in E$ e $by \in E$. Provamos também que $M := D(a, 1) \cup D(b, 1)$ é m^3 -convexo em G . Assim M deve ser satisfeito, mas nem c nem d são simpliciais em A uma contradição;

Primeiro note que todo vértice semisimplicial v de G é simplicial devido ao lema 5.4. A partir da Afirmção 4 concluímos que $G \setminus \{v\}$ é satisfaz (4), pela hipótese de indução, é livre de HHDA. Portanto, a e b são os únicos vértices simpliciais de G , e $D(a, 1), D(b, 1)$ são completos.

- Se existe um vizinho z em comum de a e b , então z é adjacente a todos os vértices a, b, c, d, x, y .

Considere o ciclo $z - a - x - y - b - z$ implica as arestas zx e zy . Agora $\{z, x, y, c, d\}$ induz uma casa (ver 7), portanto $zc \in E$. Supondo $zc \notin E$. Então $zd \in E$ e $\{a, z, x, c, d\}$ induz uma casa. Consequentemente ambos $zc \in E$ e $zd \in E$.

- $N(a) \subseteq N(c)$ e $N(b) \subseteq N(d)$

Seja w um vizinho de a e suponha $wc \notin E$. Assim $w \neq x$, $wx \in E$, e $wb \notin E$. Uma vez que $G \setminus \{a\}$ é livre de HHDA w deve ser adjacente a y ou d . Se $wy \in E$ então o grafo induzido por $\{w, x, y, c, d\}$ implica $wd \in E$. Assim $wd \in E$. Mas agora $\{a, x, w, c, d\}$ induz uma casa.

- Cada vértice de $N(a)$ é adjacente a cada vértice de $N(b)$

Se $w \in N(a) \cap N(b)$ então w é adjacente a todos os vértices de $N(a) \cup N(b)$ uma vez que tanto $D(a, 1)$ e $D(b, 1)$ são completos. Então suponha o contrário, que existe vértices não adjacentes $z \in N(a) \setminus N(b)$ e $w \in N(b) \setminus N(a)$. Desde que $xy \in E$ temos ou $z = x$ e $w = y$, $z \neq x$ e $w = y$ ou $z \neq x$ e $w \neq y$.

Primeiro assumimos $z = x$ (analogamente $w = y$) O grafo induzido por $\{w, d, y, c, z\}$ implica $wc \in E$ Mas agora $\{b, y, w, z, c\}$ induz uma casa. Então seja $x \neq z$ e $y \neq w$ Pelos mesmos argumentos acima podemos assumir $zy \in E$ e $wx \in E$. Agora considere $\{w, d, y, z, c\}$ então $zd \in E$ ou $wc \in E$. Por simetria, temos $wc \in E$. Mas isso gera uma casa induzida por $\{b, y, w, z, c\}$.

Para completar a prova suponha que $M = D(a, 1) \cup D(b, 1)$ não é m^3 -convexo em G . Então deve haver vértices não adjacentes $w, z \in M$ e um caminho induzido P e tamanho pelo menos 3 juntando w e z tal que $P \setminus M$ é não vazio. Um a vez que cada vértice de $N(a)$ é adjacente a todo vértice de $N(b)$ concluímos $\{w, z\} \cap \{a, b\} \neq \emptyset$. Dizemos $z = a$. Então $w \neq D(a, 1)$. Seja z' o vizinho de z em P , isto é, $z' \in N(a)$. Se $w \in N(b)$ então $z'w \in E$. Uma contradição. Consequentemente $w = b$. Agora considere o vizinho w' de w em P . A partir de $w' \in N(b)$ concluímos $z'w' \in E$ novamente uma contradição. \square

5.3 Resultados Novos

5.3.1 Convexidade P_3

Nesta seção, provamos o seguinte teorema.

Teorema 5.7. *A convexidade P_3 é geométrica em G se e somente se G é uma floresta de estrelas.*

Demonstração. Suponha inicialmente que a convexidade P_3 é geométrica em G .

Se G possui um $K_3 \{x, y, z\}$, temos que $S = \{z\}$ é um conjunto convexo, $x \in \mathcal{H}(S \cup \{y\})$ e $y \in \mathcal{H}(S \cup \{x\})$, o que contradiz a propriedade *Antiexchange*. Logo G é livre de

triângulos. Se G possui um C_4 induzido $\{a, b, c, d\}$ com arestas ab, bc, cd, da , temos que $S = \{c, d\}$ é um conjunto convexo pois G é livre de triângulos e portanto não existe vértice adjacente a c e d . Portanto, $a \in \mathcal{H}(S \cup \{b\})$ e $b \in \mathcal{H}(S \cup \{a\})$, o que contradiz a propriedade *Antiexchange*. Logo G é livre de C_4 . Se G possui um C_5 induzido $\{a, b, c, d, e\}$ com arestas ab, bc, cd, de, ea , temos que $S = \{c, d, e\}$ é um conjunto convexo. Isso porque $\{c, d\}$ e $\{d, e\}$ não infectam nenhum vértice, visto que G é livre de K_3 , e $\{c, e\}$ não infectam nenhum vértice v , caso contrário teríamos um C_4 induzido $\{c, d, e, v\}$ (note que vd não pode ser aresta pois G é livre de K_3). Portanto, $a \in \mathcal{H}(S \cup \{b\})$ e $b \in \mathcal{H}(S \cup \{a\})$, o que contradiz a propriedade *Antiexchange*. Logo G é livre de C_5 . Se G possui um P_4 induzido $wxyz$, temos que $S = \{w, z\}$ é um conjunto convexo. Isso porque se existisse um vértice u adjacente a w e z , teríamos que ux e uy não seriam arestas (pois G é livre de triângulos) e portanto $\{wxyzu\}$ seria um C_5 induzido, uma contradição. Portanto, $x \in \mathcal{H}(S \cup \{y\})$ e $y \in \mathcal{H}(S \cup \{x\})$, o que contradiz a propriedade *Antiexchange*. Logo G é livre de P_4 .

Resumindo, G é livre de K_3 , C_4 e P_4 induzidos (note que ser livre de P_4 implica ser livre de C_5). Ou seja, G é um cografo livre de K_3 e C_4 (lembre que os cografos são os grafos livres de P_4). Sabe-se que todo cografo conexo G é a junção de dois cografos G_1 e G_2 . Se G_1 possui uma aresta ab então teríamos um K_3 $\{abz\}$ com qualquer vértice z de G_2 , uma contradição. Logo, G_1 e G_2 não possuem arestas. Se G_1 e G_2 possuem mais de 2 vértices cada, então teríamos um C_4 induzido $\{u_1, v_1, u_2, v_2\}$ com quaisquer vértices $u_1, v_1 \in V(G_1)$ e $u_2, v_2 \in V(G_2)$, uma contradição. Portanto, G_1 ou G_2 possui apenas um vértice. Isso significa que a junção de G_1 e G_2 gera uma estrela $K_{1,i}$.

Como G pode ser desconexo, isso significa que G é uma floresta de estrela.

Por outro lado, se G é uma estrela com pelo menos 3 vértices e centro c , note que c é o único vértice com grau maior do que um. Logo c é o único vértice que pode ser infectado, isso satisfaz a propriedade *Antiexchange* e portanto a convexidade P_3 é geométrica. \square

5.3.2 Convexidade P_3^*

Nesta seção provamos o seguinte teorema.

Teorema 5.8. *A convexidade P_3^* é geométrica em G se e somente se G é um cografo cordal.*

Demonstração. Suponha inicialmente que a convexidade P_3^* é geométrica em G .

Se G possui um C_4 induzido $\{a, b, c, d\}$ com arestas ab, bc, cd, da , temos que $S = \{c, d\}$ é um conjunto convexo pois cd é uma aresta. Portanto, $a \in \mathcal{H}(S \cup \{b\})$ e $b \in \mathcal{H}(S \cup \{a\})$, o que contradiz a propriedade *Antiexchange*. Logo G é livre de C_4 induzido.

Se G possui um P_4 induzido $\{a, b, c, d\}$ com arestas ab, bc, cd , temos que o conjunto $S = \{a, d\} \cup (N(a) \cap N(d))$ formado pelos vértices a, d e todos os vértices $v \in N(a) \cap N(d)$ (ou seja, avd é um P_3 induzido) forma um conjunto convexo. Isso porque, se $N(a) \cap N(d)$ contém dois vértices v e v' não adjacentes entre si, então $avdv'$ induziria um C_4 , uma

contradição. Ou seja, $N(a) \cap N(d)$ induz uma clique e conseqüentemente S é convexo. Portanto, $b \in \mathcal{H}(S \cup \{c\})$ e $c \in \mathcal{H}(S \cup \{b\})$, o que contradiz a propriedade *Antiexchange*. Logo G é livre de P_4 . Resumindo, G é livre de C_4 e P_4 induzidos. Se G tivesse um ciclo induzido de tamanho maior do que 4, então G teria um P_4 induzido, uma contradição. Portanto, G é cordal. Além disso G é um cografo pois é livre de P_4 's. Ou seja G é um cografo cordal.

Por outro lado, se G é um cografo cordal, então todo caminho induzido tem tamanho no máximo 2, pois G é livre de P_4 . Portanto, a convexidade monofônica é equivalente a convexidade P_3^* em G . Ou seja, todo conjunto convexo de G na convexidade monofônica é convexo na convexidade P_3^* e vice versa. Como a convexidade monofônica é geométrica em grafos cordais, então a convexidade P_3^* é geométrica em G . \square

5.3.3 convexidade TP

Relembre que um caminho P em um grafo é um T -caminho se para quaisquer dois vértices x, y a distância maior do que 2 em P não são adjacentes. Ou seja, as únicas arestas entre vértices de P e que não são arestas de P são entre vértices a distância 2 em P (ou seja, só criam triângulos). Relembre ainda que um conjunto S é TP -convexo se, para todo $x, y \in S$, todos os vértices em T -caminhos entre x, y pertencem a S .

Nesta seção provamos o seguinte teorema.

Teorema 5.9. *A convexidade TP é geométrica em G se e somente se G é uma floresta.*

Demonstração. Suponha inicialmente que a convexidade TP é geométrica em G . Se G possui um K_3 induzido $\{x, y, z\}$, temos que $S = \{z\}$ é um conjunto convexo, $x \in \mathcal{H}(S \cup \{y\})$ (pois há o T -caminho yxz entre y e z passando por x com uma única corda yz que forma um triângulo) e $y \in \mathcal{H}(S \cup \{x\})$ (pelo mesmo motivo anterior), o que contradiz a propriedade *Antiexchange*. Logo G é livre de triângulos.

Se G possui um ciclo induzido v_1, v_2, \dots, v_k para $k \geq 4$, temos que $S = \{v_2, v_3\}$ é um conjunto T -convexo, pois não existem T -caminhos entre v_2 e v_3 visto que G é livre de triângulos. Note que $v_1 \in \mathcal{H}(S \cup \{v_4\})$ e $v_4 \in \mathcal{H}(S \cup \{v_1\})$, o que contradiz a propriedade *Antiexchange*. Logo G é livre de ciclos induzidos. Como todo ciclo contém um ciclo induzido, temos que G é livre de ciclos. Ou seja G é uma floresta.

Por outro lado, suponha que G é uma floresta. Logo G não contém triângulos. Com isso, todo T -caminho de G é um caminho induzido, e vice-versa. Ou seja, todo conjunto T -convexo de G é monofonicamente convexo, e vice-versa. Isso quer dizer que a convexidade TP e a convexidade monofônica são idênticas em G . Como G é uma floresta, então G é cordal, o que implica que a convexidade monofônica é geométrica em G e portanto a convexidade TP também é geométrica em G . \square

5.3.4 Convexidade P_4^+ -free

Nessa seção, tentamos encontrar uma convexidade de grafos que caracteriza os cografos (ou seja, uma convexidade que é geométrica se e somente se o grafo for um cografo). Lembre que os cografos são os grafos livres de P_4 induzido.

Lembre que, dado um grafo G , um conjunto S é P_3^* -convexo, se $\forall P_3$ induzido abc , se $ac \in S$, então $b \in S$. Similarmente, definimos um conjunto S como sendo P_4^+ -convexo, se $\forall P_4$ induzido $abcd$, se $acd \in S$, então $b \in S$.

Teorema 5.10. *A convexidade P_4^+ é geométrica em G se e somente se G é um cografo (livre de P_4)*

Demonstração. Se G é livre de P_4 , então, por definição, todo subconjunto de vértices de G é P_4^+ -convexo. Portanto, a propriedade *Antiexchange* é sempre satisfeita e a convexidade é geométrica.

Suponha então que G possui um P_4 induzido $abcd$. Note que $S' = \{a, d\}$ é P_4^+ -convexo. Note ainda que $b \in \mathcal{H}(S' \cup \{c\})$ e que $c \in \mathcal{H}(S' \cup \{b\})$, o que contradiz a propriedade *Antiexchange*. Logo, a convexidade não é geométrica. \square

5.3.5 Convexidade \mathcal{F} -free

Definição 5.8. *Seja H um grafo com pelo menos dois vértices. Dado um grafo G , dizemos que um conjunto $S \subseteq V(G)$ é H -free convexo se para todo $S' \subseteq S, |S'| = |V(H)| - 1$ temos que, se $S' \cup \{x\}$ induz um grafo H , então $x \in S$. Dada uma família \mathcal{F} de grafos com pelo menos dois vértices, dizemos que um conjunto $S \subseteq V(G)$ é \mathcal{F} -free convexo se é H -free convexo para todo $H \in \mathcal{F}$.*

Teorema 5.11. *A convexidade \mathcal{F} -free é geométrica em G se e somente se G é livre de \mathcal{F} .*

Demonstração. Se G não possui nenhum subgrafo induzido $H \in \mathcal{F}$, então por definição todo subconjunto $S \subseteq V(G)$ é H -free convexo. Portanto, a propriedade *Antiexchange* é sempre satisfeita e a convexidade é geométrica.

Suponha então que G possui algum subgrafo de \mathcal{F} . Seja H um grafo de \mathcal{F} que aparece em G e tem um número mínimo de vértices. Seja S um conjunto de vértices de G que induz H . Sejam x, y dois vértices distintos de S e seja $S' = S \setminus \{x, y\}$. Note que S' é \mathcal{F} -free convexo, pela minimalidade de H . Note ainda que $y \in \mathcal{H}(S' \cup \{x\})$ e que $x \in \mathcal{H}(S' \cup \{y\})$, o que contradiz a propriedade *Antiexchange*. Logo, a convexidade não é geométrica. \square

Os dois corolários a seguir seguem diretamente do teorema acima e das caracterizações dos grafos bipartidos (grafos sem ciclos ímpares) e dos grafos planares (grafos livres de uma subdivisão do K_5 ou do $K_{3,3}$, de acordo com o Teorema de Kuratowski).

Corolário 5.9. *Seja $\mathcal{F} = \{C_{2k+1} : k = 1, 2, 3, \dots\}$ a família infinita dos ciclos ímpares. A convexidade \mathcal{F} -free é geométrica em G se e somente se G é bipartido.*

Corolário 5.10. *Seja $\mathcal{F} = \{TK_5, TK_{3,3}\}$, onde T representa topological minor, a família infinita dos grafos que podem ser obtidos a partir do K_5 ou do $K_{3,3}$ através de subdivisão de arestas. A convexidade \mathcal{F} -free é geométrica em G se e somente se G é planar.*

6 Grafos com poucos P_4

6.1 Introdução

Babel e Olariu em (BABEL; OLARIU, 1998) definiram um grafo como $(q, q-4)$ -grafo se nenhum conjunto com q vértices induz mais do que $q-4$ diferentes P_4 's. Assim sendo, cografos são $(4,0)$ -grafos, ou seja, não possuem P_4 's induzidos (CORNEIL; LERCHS; BURLINGHAM, 1981). Grafos P_4 -esparso são $(5,1)$ -grafos (PERFECT..., 1985). Estruturalmente, sabe-se que todo cografo é desconexo ou seu complemento é desconexo, e que todo grafo P_4 -esparso é um cografo ou é uma *aranha*.

Dizemos que um grafo é uma *aranha* (R, C, S) se o seu conjunto de vértices pode ser particionado em conjuntos R , C e S , *grafo aranha* onde $C = \{c_1, \dots, c_k\}$ e $S = \{s_1, \dots, s_k\}$ para $k = |C| = |S|$ tais que:

- i. C induz uma clique;
- ii. S induz um conjunto independente;
- iii. Todo vértice de R é adjacente aos vértices de C e não-adjacente aos vértices de S ;
- iv. (a) s_i é adjacente a c_i se e só se $i = j$, para todos $1 \leq i, j \leq k$ (*aranha magra*); ou
(b) s_i é adjacente a c_i se e só se $i \neq j$, para todos $1 \leq i, j \leq k$ (*aranha gorda*)

Podemos visualizar R , C e S respectivamente como a cabeça, o corpo e as pernas da aranha.

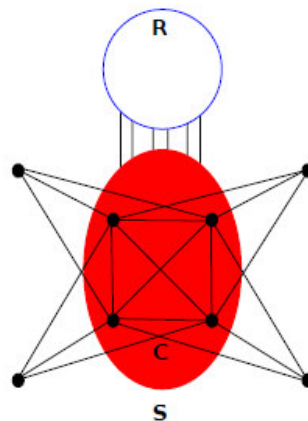


Figura 8 – Aranha gorda.

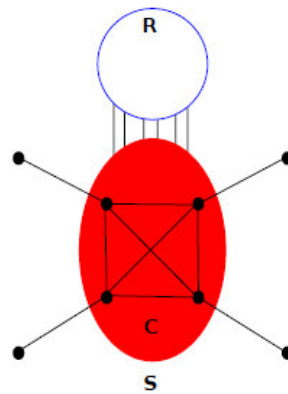


Figura 9 – Aranha magra.

Note que R pode ser vazio e, nesse caso, dizemos que a aranha é sem cabeça.

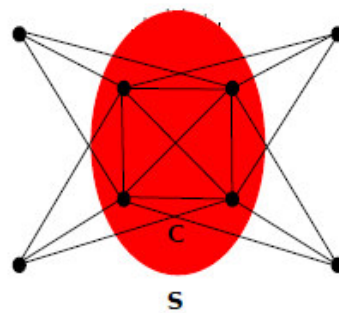


Figura 10 – Aranha sem cabeça.

A *união disjunta* (ou simplesmente *união*) de dois grafos G_1 e G_2 é o grafo $G_1 \cup G_2$, onde $V(G_1 \cup G_2) = V(G_1) \cup V(G_2)$ e $E(G_1 \cup G_2) = E(G_1) \cup E(G_2)$. A *junção* de dois grafos G_1 e G_2 é o grafo $G_1 \vee G_2$, onde $V(G_1 \vee G_2) = V(G_1) \cup V(G_2)$ e $E(G_1 \vee G_2) = E(G_1) \cup E(G_2) \cup V(G_1) \times V(G_2)$. A operação de junção é a operação de união com a inclusão de todas as arestas possíveis entre G_1 e G_2 .

(JAMISON; OLARIU, 1995) provaram um importante resultado estrutural para grafos quaisquer, usando *grafos p -conexos*. Um grafo é *p -conexo* se, para toda partição dos vértices de G em conjuntos A e B não vazios, existe um P_4 com vértices de A e B . Uma *p -componente separável* é um subgrafo p -conexo maximal com uma bipartição (H_1, H_2) tal que todo P_4 $wxyz$ com vértices em H_1 e H_2 é tal que $x, y \in H_1$ e $w, z \in H_2$.

Teorema 6.1 ((JAMISON; OLARIU, 1995)). *Seja $G = (V, E)$ um grafo simples. Então G satisfaz um dos itens abaixo:*

- (i) G é desconexo;
- (ii) \overline{G} é desconexo (onde \overline{G} é o complemento de G);

(iii) G é p -conexo;

(iii) G possui uma p -componente separável $H = (H_1, H_2)$ tal que todo vértice de $V(G) - H$ é adjacente aos vértices de H_1 e não-adjacente aos vértices de H_2 .

Além disso, tal caracterização pode ser obtida em tempo linear no número de arestas de G .

(BABEL; OLARIU, 1998) também provaram que todo $(q, q - 4)$ -grafo p -conexo é uma aranha sem cabeça ou tem menos do que q vértices. Portanto, pelo teorema acima e pelo fato de que o complemento de um $(q, q - 4)$ -grafo é também um $(q, q - 4)$ -grafo, temos diretamente o seguinte resultado.

Corolário 6.1. *Seja $q \geq 4$ um inteiro fixo. Dado um $(q, q - 4)$ -grafo $G = (V, E)$, então G satisfaz um dos itens a seguir:*

- (a) $G = G_1 \cup G_2$ é a união de dois $(q, q - 4)$ -grafos G_1 e G_2 ;
- (b) $G = G_1 \vee G_2$ é a junção de dois $(q, q - 4)$ -grafos G_1 e G_2 ;
- (c) G é uma aranha (R, C, S) tal que $G[R]$ é um $(q, q - 4)$ -grafo;
- (d) G tem menos de q vértices;
- (e) G possui uma p -componente separável $H = (H_1, H_2)$ com menos de q vértices tal que todo vértice de $V(G) - H$ é adjacente aos vértices de H_1 e não-adjacente aos vértices de H_2 .

Além disso, tal caracterização pode ser obtida em tempo linear no número de arestas de G .

Em 2011, Campos et al em (CAMPOS et al., 2012) obtiveram um algoritmo em tempo polinomial para todos os parâmetros P_3 convexos em grafos $(q, q - 4)$, para todo q fixo, que são os grafos, tal que cada conjunto conjunto com no máximo q vértices induz no máximo $q - 4$ P_4 's. Cografos e grafos P_4 -esparsos são respectivamente o grafos $(4, 0)$ e o grafo $(5, 1)$.

Obtivemos algoritmo em tempo linear para cada parâmetro geodésico e P_3^* em grafos em grafos P_4 -esparsos.

O teorema a seguir é válido para as convexidades P_3^* e geodésica.

Teorema 6.2. *Se $G = G_1 \cup G_2$ então:*

- $hn(G) = hn(G_1) + hn(G_2)$,
- $cx(G) = \max\{n_1 + cx(G_2), cx(G_1) + n_2\}$,
- $in(G) = in(G_1) + in(G_2)$,

- $cth(G) = \max\{cth(G_1), cth(G_2)\}$,
- $rd(G) = rd(G_1) + rd(G_2) - 1$ e
- $t(G) = \max\{t(G_1), t(G_2)\}$.

Demonstração. A prova é direta. □

6.2 Convexidade Geodésica em grafos $(q, q - 4)$

Para a junção de dois grafos, temos 3 possibilidades: (a) os dois grafos são completos, (b) só um dos grafos é completo e (c) nenhum dos grafos é completo. O caso (b) já foi tratado na Seção 4 no Teorema 4.1. O caso (a) é trivial e enunciamos abaixo.

Lema 6.2. *Se $G = G_1 + G_2$ são cliques, então:*

- $hn_{gd}(G) = n$,
- $in_{gd}(G) = n$,
- $cx_{gd}(G) = n - 1$,
- $cth_{gd}(G) = 1$,
- $t_{gd}(G) = 0$ e
- $rd_{gd}(G) = 1$.

Demonstração. É fácil ver que o número de hull será o número de vértices do grafo todo, pois, se um vértice não pertence ao conjunto, ele nunca será infectado pois estará a distância 1 de qualquer outro vértice. O mesmo argumento vale para o número de intervalo. É fácil ver que o número de convexidade é $n - 1$ pois todo vértice v está a distância 1 de qualquer outro vértice e portanto não será alcançado. É fácil ver que o número de Carathéodory é 1, pois qualquer par $\{x, y\}$ de vértices forma uma aresta e portanto o hull de $\{x, y\}$ é igual a união do hull de $\{x\}$ e o hull de $\{y\}$. O $t_{gd}(G) = 0$ pois se algum vértice não for infectado no tempo 0 ele nunca mais será infectado. Note que, para qualquer subconjunto S com pelo menos 2 vértices, não há como particioná-lo em dois conjuntos de modo que o hull das duas partes se intersectem, pois ambas as partes formam cliques. Por isso o número de Radon é igual a 1. □

O caso (c) é tratado no teorema abaixo.

Teorema 6.3. *Seja $G = G_1 + G_2$ Se G_1 e G_2 não são cliques então:*

- $hn_{gd}(G) = cth(G) = 2$,

- $cx_{gd}(G) = \omega(G_1) + \omega(G_2)$,
- $rd_{gd}(G) = \omega(G_1) + \omega(G_2) + 1$,
- $in_{gd}(G) = \min\{4, in_{P_3^*}(G_1), in_{P_3^*}(G_2)\}$ e
- $t_{gd}(G) \in \{1, 2\}$

Demonstração. É fácil ver que o número de hull é 2, pois quaisquer dois vértices não adjacentes em G_1 ou G_2 infectarão o grafo inteiro. É fácil ver que o número de convexidade será o tamanho da maior clique de G , pois, caso tenhamos pelo menos dois vértices não adjacentes em G_1 , eles infectarão todos os vértices de G_2 e dois vértices não adjacentes de G_2 infectarão todos os vértices de G_1 . Logo o número de convexidade deve ser $\omega(G) = \omega(G_1) + \omega(G_2)$. O número de Radon é o tamanho da maior clique de G mais 1, pois qualquer conjunto desse tamanho deve possuir dois vértices não adjacentes que irão infectar o grafo todo. É fácil ver que $in_{gd}(G) \leq 4$, pois dois vértices não adjacentes de G_1 com dois vértices não adjacentes de G_2 conseguem infectar o grafo inteiro em um passo. Além disso, $in_{gd}(G) \leq in_{P_3^*}(G_1)$, pois qualquer conjunto de intervalo de G_1 deve ter dois vértices não adjacentes, que irão infectar G_2 . Pelo mesmo motivo, $in_{gd}(G) \leq in_{P_3^*}(G_2)$. O tempo máximo é 1 se, para todo par $\{x, y\}$ de vértices não adjacentes, x e y são adjacentes a todos os demais vértices. Caso contrário o tempo máximo é 2, pois qualquer par de vértices não adjacentes de G_1 infecta G_2 em um passo e qualquer par de vértices de G_2 infecta G_1 em um passo. \square

Para a prova em aranhas, o resultado é a mesmo tanto para aranhas magras como gordas, pois os vértices das patas são simpliciais e portanto não existem caminhos mínimos passando por elas.

Teorema 6.4. *Se G é uma aranha (R, K, S) e $R \neq \emptyset$, então:*

- $hn_{gd}(G) = hn_{P_3^*}(G[R]) + k$,
- $in_{gd}(G) = in_{P_3^*}(G[R]) + k$,
- $cx_{gd}(G) = n - 1$,
- $cth_{gd}(G) = \max\{cth_{P_3^*}(G[R]), 2\}$,
- $rd_{gd}(G) = \omega(G[R]) + k + 1$ e
- $t_{gd}(G) = \max\{t_{P_3^*}(G[R]), 1\}$

onde $k = |K| = |S|$, $n = |V(G)|$ e $\omega(G)$ é o tamanho da maior clique de G

Demonstração. É fácil ver que todo vértice simplicial deve estar em todo conjunto de hull, pois não existem caminhos mínimos passando por eles. Por esse motivo, todos os vértices de S devem estar em todo conjunto hull, pois são simpliciais. Com isso, todos os vértices do corpo são infectados pelas patas. Além disso, nenhum subconjunto de vértices de $K \cup S$ consegue infectar algum vértice de R . Portanto, para infectar R , é preciso um conjunto de vértices V' de R tal que todos os demais vértices de R estejam em um caminho mínimo (ou seja, de tamanho dois) entre dois vértices de V' . Logo $hn_{gd}(G) = hn_{P_3^*}(G[R]) + k$. Usando os mesmos argumentos, temos que $in_{gd}(G) = in_{P_3^*}(G[R]) + k$. É fácil ver que $cx_{gd}(G) = n - 1$, pois o conjunto de vértices com exceção de uma pata é um conjunto convexo. É fácil ver que $rd_{gd}(G) > \omega(G[R]) + k$, pois o conjunto formado pela maior clique de $G[R]$ e K forma uma clique e, portanto não satisfaz a propriedade de Radon. Considere então um conjunto X de tamanho $\omega(G[R]) + k + 1$. Então certamente X contém dois vértices $\{x_1, x_2\}$ não adjacentes. Considere a partição de X em dois conjuntos $\{x_1, x_2\}$ e $X \setminus \{x_1, x_2\}$. A parte $\{x_1, x_2\}$ infecta K e, se X contém algum vértice de K então está seria uma partição Radon. Suponha então que X não contém vértices de K . Se $X \setminus \{x_1, x_2\}$ contém dois vértices não adjacentes então eles infectariam K , o que implicaria que isso também é uma partição Radon. suponha então que $X \setminus \{x_1, x_2\}$ é uma clique de $G[R]$. Logo $|X| - 2 \leq \omega(G[R])$. Como $|X| = \omega(G[R]) + k + 1$ e $k \geq 2$ temos uma contradição. É fácil ver que todos os vértices da pata são infectados no tempo 0, se todos os vértices da cabeça $G[R]$ estiverem infectados no tempo 0, o corpo será infectado no tempo 1 e assim todo o grafo é infectado. Como as patas são sempre infectadas no tempo 0 e os vértices de $G[R]$ estão a distância 1 ou 2 entre si, caso nem os vértices da cabeça não sejam infectados no tempo 0 então o tempo será a maior quantidade de interações que levará para infectar toda a cabeça. Os vértices do corpo são sempre infectados em tempo 1, ou por dois vértices da para ou dois vértices não adjacente da cabeça ou 1 vértice da pata e 1 da cabeça. Lembrando novamente que os vértices da cabeça estão a distância 1 ou 2 entre si então o tamanho do menor caminho está limitado. Logo $t_{gd}(G) = \max\{t_{P_3^*}(G[R]), 1\}$. \square

Teorema 6.5. *Se G é uma aranha (R, K, S) e $R = \emptyset$ então:*

- $hn_{gd}(G) = k$,
- $in_{gd}(G) = k$,
- $cx_{gd}(G) = n - 1$,
- $cth_{gd}(G) = 2$,
- $rd_{gd}(G) = k + 1$ e
- $t_{gd}(G) = 1$

onde $k = |K| = |S|$, $n = |V(G)|$ e $\omega(G)$ é o tamanho da maior clique de G

Demonstração. É fácil ver que todo vértice simplicial deve estar em todo conjunto de hull, pois não existem caminhos mínimos passando por eles. Por esse motivo, todos os vértices de S devem estar em todo conjunto hull, pois são simpliciais. Com isso, todos os vértices do corpo são infectados pelas patas, como $G[R]$ é vazio logo $hn_{gd}(G) = k$. Usando os mesmos argumentos, temos que $in_{gd}(G) = k$. É fácil ver que $cx_{gd}(G) = n - 1$, pois o conjunto de vértices com exceção de uma pata é um conjunto convexo. É fácil ver que todos os vértices da pata são infectados no tempo 0, se todos os vértices da cabeça $G[R]$ estiverem infectados no tempo 0, o corpo será infectado no tempo 1 e assim todo o grafo é infectado. Como as patas são sempre infectadas no tempo 0. Os vértices do corpo são sempre infectados em tempo 1, ou por dois vértices da pata. Logo o $t_{gd}(G) = 1$. Com relação com o número de Carathéodory, é fácil ver que $cth(G) \geq 2$ pois, para qualquer par $\{s_1, s_2\}$ de vértices de S , temos que $\partial\mathcal{H}_{gd}(\{s_1, s_2\}) \neq \emptyset$, pois $\mathcal{H}_{gd}(\{s_1, s_2\})$ contém vértices de K , mas $\mathcal{H}_{gd}(\{s_1\}) \cup \mathcal{H}_{gd}(\{s_2\}) = \{s_1, s_2\}$. Também é fácil ver que $cth(G) < 3$, pois, para qualquer conjunto X com 3 vértices, $\partial\mathcal{H}_{gd}(X) = \emptyset$. Para isso basta checar os casos em que X possui 3 vértices de K , ou X possui 3 vértices de S , ou X possui 2 vértices de K e um vértice de S , ou X possui um vértice de K e 2 vértices de S . É fácil ver que $rn(G) = k + 1$, pois se pegarmos os vértices de K para qualquer modo que particionemos eles não conseguem infectar ninguém e por isso a interseção será vazia. Agora pegamos K mais um vértice $\{v\} \in S$, como existe pelo menos um vértice de K que não é adjacente a v colocamos esses dois vértices na mesma partição e o resto em outra partição. Assim a interseção dos conjuntos hull não será vazia.

□

6.3 Convexidade P_3^* em grafos $(q, q - 4)$

Nessa seção vamos provar os parâmetros conhecidos de convexidade a partir da nossa nova convexidade em grafos $(q, q - 4)$. Para o caso da união o teorema é o mesmo da convexidade geodésica (ver Teorema 6.2). Como no caso da convexidade geodésica da seção anterior dividimos a junção em 2 casos com (G_1) ou (G_2) sendo uma clique e o outro sem cliques. Começaremos com o caso sem cliques.

Teorema 6.6. *Seja $G = G_1 + G_2$. Se G_1 e G_2 não são cliques, então:*

- $hn_{P_3^*}(G) = cth_{P_3^*}(G) = 2$,
- $cx_{P_3^*}(G) = \omega(G_1) + \omega(G_2)$,
- $rd_{P_3^*}(G) = \omega(G_1) + \omega(G_2) + 1$,
- $in_{P_3^*}(G) = \min\{4, in_{P_3^*}(G_1), in_{P_3^*}(G_2)\}$ e

- $t_{P_3^*}(G) \in \{1, 2\}$.

Demonstração. A argumentação para todos os parâmetros desse teorema é idêntica a do Teorema 6.3

□

Agora o caso em que temos uma clique.

Teorema 6.7. *Se $G = G_1 + K_m$ e G_1 não é uma clique, então:*

- $hn_{P_3^*}(G) = hn_{P_3^*}(G_1)$,
- $in_{P_3^*}(G) = in_{P_3^*}(G_1)$,
- $cx_{P_3^*}(G) = cx_{P_3^*}(G_1) + m$,
- $cth_{P_3^*}(G) = \max\{cth_{P_3^*}(G_1), 2\}$,
- $t_{P_3^*}(G) = \max\{t_{P_3^*}(G_1), 1\}$ e
- $rd_{P_3^*}(G) = \omega(G_1) + m + 1$.

Demonstração. A demonstração deste teorema é idêntica a do Teorema 4.1, pois todo P_3 induzido é um caminho mínimo em G e vice-versa.

□

Agora para o caso quando o grafo for uma aranha.

Teorema 6.8. *Se G é uma aranha (R, K, S) e $R \neq \emptyset$, então:*

- $hn_{P_3^*}(G) = hn_{P_3^*}(G[R]) + k$,
- $in_{P_3^*}(G) = in_{P_3^*}(G[R]) + k$,
- $cx_{P_3^*}(G) = n - 1$,
- $cth_{P_3^*}(G) = \max\{cth_{P_3^*}(G[R]), 2\}$,
- $rd_{P_3^*}(G) = \omega(G[R]) + 2k + 1$ e
- $t_{P_3^*}(G) = \max\{t_{P_3^*}(G[R]), 1\}$,

onde $k = |K| = |S|$, $n = |V(G)|$ e $\omega(G)$ é o tamanho da maior clique de G

Demonstração. A demonstração deste Teorema é idêntica a do Teorema 6.4.

□

Para o caso de aranha sem cabeça temos resultados diferentes se a aranha é gorda ou magra.

Teorema 6.9. *Se G é uma aranha (R, K, S) e $R = \emptyset$, então:*

- $hn_{P_3^*}(G) = k + \delta$,
- $in_{P_3^*}(G) = k + \delta$,
- $cx_{P_3^*}(G) = n - 1$,
- $cth_{P_3^*}(G) = 2$,
- $rd_{P_3^*}(G) = k + 1$ e
- $t_{P_3^*}(G) = 1$,

onde $\delta = 1$ se G é uma aranha magra, e $\delta = 0$, caso contrário.

Demonstração. É fácil ver que o $hn_{P_3^*}(G) \geq k$, pois todos os vértices de S devem estar infectados no início pois não há caminhos passando por eles. Também é fácil ver que o conjunto S mais um vértice de K é suficiente para infectar o grafo inteiro e portanto $hn_{P_3^*}(G) \leq k + 1$. No entanto, se G é uma aranha magra, S é convexo e portanto $hn_{P_3^*}(G) > k$ e conseqüentemente $hn_{P_3^*}(G) = k + 1$. Mas se G é uma aranha gorda, S é um conjunto hull e portanto $hn_{P_3^*}(G) = k$. O mesmo argumento vale para o número de intervalo. É fácil ver que o número de convexidade é $n - 1$ pois o conjunto de vértices inteiro com exceção de um vértice de S é convexo. O tempo será 1 pois todos os demais vértices serão infectados no primeiro passo. É fácil ver que $cth(G) \geq 2$ pois, para qualquer par $\{s_1, c_2\}$, onde $s_1 \in S$, $c_2 \in K$ e s_1c_2 não é aresta, temos que $\partial\mathcal{H}_{P_3^*}(\{s_1, c_2\}) \neq \emptyset$, pois $\mathcal{H}_{P_3^*}(\{s_1, c_2\})$ contém vértices de K , mas $\mathcal{H}_{P_3^*}(\{s_1\}) \cup \mathcal{H}_{P_3^*}(\{c_2\}) = \{s_1, c_2\}$. Também é fácil ver que $cth(G) < 3$, pois, para qualquer conjunto X com 3 vértices, $\partial\mathcal{H}_{P_3^*}(X) = \emptyset$. Para isso basta checar os casos em que X possui 3 vértices de K , ou X possui 3 vértices de S , ou X possui 2 vértices de K e um vértice de S , ou X possui um vértice de K e 2 vértices de S . É fácil ver que $rn(G) = k + 1$, pois se pegarmos os vértices de K , para qualquer modo que particionemos, os conjuntos hull das partes não se intersectam, visto que as partes são cliques. Agora pegamos K mais um vértice $\{v\} \in S$, como existe pelo menos um vértice de K que não é adjacente a v colocamos esses dois vértices na mesma partição, assim a interseção não será vazia. \square

Referências

- ARAÚJO, J. et al. On the hull number of some graph classes. *Electronic Notes in Discrete Mathematics*, v. 38, n. 0, p. 49 – 55, 2011. ISSN 1571-0653. <http://www.sciencedirect.com/science/article/pii/S1571065311000783>.
- ARAÚJO, R.; SAMPAIO, R.; SZWARCFITER, J. The convexity of induced paths of order three. *Electronic Notes in Discrete Mathematics*, v. 44, n. 0, p. 109 – 114, 2013. ISSN 1571-0653. <http://www.sciencedirect.com/science/article/pii/S1571065313002333>.
- BABEL, L.; OLARIU, S. On the structure of graphs with few P_4 's. *Discrete Appl. Math.*, v. 84, n. 1-3, p. 1–13, 1998. ISSN 0166-218X. [http://dx.doi.org/10.1016/S0166-218X\(97\)90120-7](http://dx.doi.org/10.1016/S0166-218X(97)90120-7).
- BARBOSA, R. M. et al. On the carathéodory number for the convexity of paths of order three. *Electronic Notes in Discrete Mathematics*, v. 38, n. 0, p. 105 – 110, 2011. ISSN 1571-0653. <http://www.sciencedirect.com/science/article/pii/S1571065311000874>.
- BENEVIDES, F. et al. The maximum time of 2-neighbour bootstrap percolation: algorithmic aspects. 2013.
- BONDY, J. A.; MURTY, U. S. R. *Graph theory*. New York: Springer, 2008. xii+651 p. (Graduate Texts in Mathematics, v. 244). ISBN 978-1-84628-969-9. <http://dx.doi.org/10.1007/978-1-84628-970-5>.
- CAMPOS, V. et al. Graphs with few p_4 's under the convexity of paths of order three. In: *CTW*. [S.l.: s.n.], 2012. p. 60–63.
- CENTENO, C. C. et al. Irreversible conversion of graphs. *Theoret. Comput. Sci.*, v. 412, n. 29, p. 3693–3700, 2011. ISSN 0304-3975. <http://dx.doi.org/10.1016/j.tcs.2011.03.029>.
- CENTENO, C. C.; DOURADO, M. C.; SZWARCFITER, J. L. On the convexity of paths of length two in undirected graphs. In: *DIMAP Workshop on Algorithmic Graph Theory*. Elsevier Sci. B. V., Amsterdam, 2009, (Electron. Notes Discrete Math., v. 32). p. 11–18. <http://dx.doi.org/10.1016/j.endm.2009.02.003>.
- CHANGAT, M.; MATHEW, J. On triangle path convexity in graphs. *Discrete Mathematics*, v. 206, n. 1–3, p. 91 – 95, 1999. ISSN 0012-365X. <http://www.sciencedirect.com/science/article/pii/S0012365X9800394X>.
- CORNEIL, D.; LERCHS, H.; BURLINGHAM, L. Complement reducible graphs. *Discrete Applied Mathematics*, v. 3, n. 3, p. 163 – 174, 1981. ISSN 0166-218X. <http://www.sciencedirect.com/science/article/pii/0166218X81900135>.

DOURADO, M. et al. On the radon number for p_3 -convexity. In: FERNÁNDEZ-BACA, D. (Ed.). *LATIN 2012: Theoretical Informatics*. Springer Berlin Heidelberg, 2012, (Lecture Notes in Computer Science, v. 7256). p. 267–278. ISBN 978-3-642-29343-6. Disponível em: <http://dx.doi.org/10.1007/978-3-642-29344-3_23>.

DOURADO, M. C. et al. Some remarks on the geodetic number of a graph. *Discrete Mathematics*, v. 310, n. 4, p. 832 – 837, 2010. ISSN 0012-365X. Disponível em: <<http://www.sciencedirect.com/science/article/pii/S0012365X09004543>>.

DOURADO, M. C. et al. Some remarks on the geodetic number of a graph. *Discrete Math.*, v. 310, n. 4, p. 832–837, 2010. ISSN 0012-365X. Disponível em: <<http://dx.doi.org/10.1016/j.disc.2009.09.018>>.

DOURADO, M. C. et al. On the convexity number of graphs. *Graphs Combin.*, v. 28, n. 3, p. 333–345, 2012. ISSN 0911-0119. Disponível em: <<http://dx.doi.org/10.1007/s00373-011-1049-7>>.

DOURADO, M. C.; PROTTI, F.; SZWARCFITER, J. L. Complexity results related to monophonic convexity. *Discrete Applied Mathematics*, v. 158, n. 12, p. 1268 – 1274, 2010. ISSN 0166-218X. Disponível em: <<http://www.sciencedirect.com/science/article/pii/S0166218X0900479X>>.

DOURADO, M. C. et al. On the carathéodory number of interval and graph convexities. *Theoretical Computer Science*, v. 510, n. 0, p. 127 – 135, 2013. ISSN 0304-3975. Disponível em: <<http://www.sciencedirect.com/science/article/pii/S0304397513006749>>.

DRAGAN, F. F.; NICOLAI, F.; BRANDSTÄDT, A. Convexity and HHD-free graphs. *SIAM J. Discrete Math.*, v. 12, n. 1, p. 119–135 (electronic), 1999. ISSN 0895-4801. Disponível em: <<http://dx.doi.org/10.1137/S0895480195321718>>.

FARBER, M.; JAMISON, R. Convexity in graphs and hypergraphs. *SIAM Journal on Algebraic Discrete Methods*, v. 7, n. 3, p. 433–444, 1986.

FARBER, M.; JAMISON, R. E. On local convexity in graphs. *Discrete Mathematics*, v. 66, n. 3, p. 231 – 247, 1987. ISSN 0012-365X. Disponível em: <<http://www.sciencedirect.com/science/article/pii/0012365X87900999>>.

GAREY, M. R.; JOHNSON, D. S. *Computers and Intractability; A Guide to the Theory of NP-Completeness*. New York, NY, USA: W. H. Freeman & Co., 1990. ISBN 0716710455.

HARARY, F.; HEDETNIEMI, S. The achromatic number of a graph. *Journal of Combinatorial Theory*, v. 8, n. 2, p. 154 – 161, 1970. ISSN 0021-9800. Disponível em: <<http://www.sciencedirect.com/science/article/pii/S0021980070800722>>.

HOWORKA, E. A characterization of ptolemaic graphs. *Journal of Graph Theory*, Wiley Subscription Services, Inc., A Wiley Company, v. 5, n. 3, p. 323–331, 1981. ISSN 1097-0118. Disponível em: <<http://dx.doi.org/10.1002/jgt.3190050314>>.

JAMISON, B.; OLARIU, S. P-components and the homogeneous decomposition of graphs. *SIAM J. Discret. Math.*, Society for Industrial and Applied Mathematics, Philadelphia, PA, USA, v. 8, n. 3, p. 448–463, ago. 1995. ISSN 0895-4801. Disponível em: <<http://dx.doi.org/10.1137/S0895480191196812>>.

OLARIU, S. Weak bipolarizable graphs. *Discrete Mathematics*, v. 74, n. 1–2, p. 159 – 171, 1989. ISSN 0012-365X. Disponível em: <<http://www.sciencedirect.com/science/article/pii/0012365X89902082>>.

PERFECT graphs. Montreal: PhD thesis, School of Computer Science, McGill University, 1985.

ROSE, D. J. Triangulated graphs and the elimination process. *Journal of Mathematical Analysis and Applications*, v. 32, n. 3, p. 597 – 609, 1970. ISSN 0022-247.